



VYSOKÉ UČENÍ TECHNICKÉ V BRNĚ

BRNO UNIVERSITY OF TECHNOLOGY

FAKULTA INFORMAČNÍCH TECHNOLOGIÍ

FACULTY OF INFORMATION TECHNOLOGY

ÚSTAV INFORMAČNÍCH SYSTÉMŮ

DEPARTMENT OF INFORMATION SYSTEMS

HARDVÉROVÁ REALIZÁCIA NUMERICKÉHO INTEGRÁTORA S METÓDOU VYŠŠIEHO RÁDU

HARDWARE REALIZATION OF HIGHER ORDER NUMERICAL INTEGRATOR

SEMESTRÁLNÍ PROJEKT

TERM PROJECT

AUTOR PRÁCE

AUTHOR

FRANTIŠEK MATEČNÝ

VEDOUCÍ PRÁCE

SUPERVISOR

Ing. VÁCLAV ŠÁTEK, Ph.D.

BRNO 2018

Abstrakt

Práca popisuje numerickú integráciu a riešenie diferenciálnych rovníc pomocou metódy Taylorovej rady v rôznych typoch integrátorov. Ďalej je popísaná aritmetika pevnej a pohyblivej rádovej čiarky. Následne sú predstavené návrhy a spôsob výpočtu paralelných integrátorov s operáciou násobenia a delania v prevedení pevnej a pohyblivej rádovej čiarky.

Abstract

This work deals with numerical integration and solution of differential equations by the Taylor series in many types of integrators. Next is described floating point and fixed point arithmetic. Subsequently are presented designs and method of calculation of parallel multiplication and division integrators in floating point and fixed point arithmetic. TODO - opraviť!!

Kľúčové slová

diferenciálna rovnica, numerická integrácia, Taylorova rada, pevná rádová čiarka, pohyblivá rádová čiarka, integrátor

Keywords

differential equation, numeric integration, Taylor series, fixed point, floating point, integrator

Citácia

MATEČNÝ, František. *Hardvérová realizácia numerického integrátora s metódou vyššieho rádu*. Brno, 2018. Semestrální projekt. Vysoké učení technické v Brně, Fakulta informačních technologií. Vedoucí práce Ing. Václav Šátek, Ph.D.

Hardvérová realizácia numerického integrátora s metódou vyššieho rádu

Prehlásenie

Prehlasujem, že som túto diplomovú prácu vypracoval samostatne pod vedením pána Ing. Václava Šátka, Ph.D. Uviedol som všetky literárne pramene a publikácie, z ktorých som čerpal.

.....
František Matečný
17. mája 2018

Podakovanie

Chcel by som sa poďakovať svojmu školiteľovi Ing. Václavovi Šátkovi, Ph.D., za odborné vedenie práce, podporu, vecné pripomienky, komentáre a rady k mojej práci. Moje poďakovanie taktiež patrí mojej rodine, priateľke Katke, kamarátom a všetkým ostatným, ktorí ma podporovali počas celej doby môjho štúdia a bez ktorých by táto práca nemohla vzniknúť.

Obsah

1	Úvod	5
2	Numerická integrácia	6
2.1	Taylorova rada	6
2.2	Eulerova metóda	7
2.3	Runge-Kutta	7
2.3.1	Runge-Kutta 2. rádu	7
2.3.2	Runge-Kutta 4. rádu	8
3	Riešenie diferenciálnych rovníc Taylorovou radou	9
3.1	Riešenie diferenciálnej rovnice s operáciou násobenia	10
3.2	Riešenie diferenciálnej rovnice s operáciou delenia	11
4	Reprezentácia operandov	13
4.1	Pevná rádová čiarka	13
4.2	Pohyblivá rádová čiarka	14
4.2.1	Súčet a rozdiel	16
4.2.2	Násobenie a delenie	17
5	Numerické integrátory	18
5.1	Návrh násobiaceho integrátora v pevnej rádovej čiarke	19
5.2	Návrh deliaceho integrátora v pevnej rádovej čiarke	21
5.3	Návrh jendovstupého integrátora	22
5.4	Návrh komponentu pre spracovanie exponentov	23
5.5	Návrh násobiaci integrátora v pohyblivej rádovej čiarke	25
5.6	Deliaci integrátor v pohyblivej rádovej čiarke	26
5.7	Sústava diferenciálnych rovníc	27
6	Popísanie integrátorov vo VHDL	29
6.1	Integrátory v pevnej rádovej čiarke	30
6.2	Integrátory v pohyblivej rádovej čiarke	36
6.3	Sústava integrátorov	37
7	Analýza	40
7.1	Porovnanie Taylorovej rady s metódou Runge-Kutta 2. radu	40
7.2	Porovnanie Taylorovej rady s metódou Runge-Kutta 4. radu	40
8	Záver	41

Literatúra	42
A Obsah přiloženého paměťového média	44

Zoznam obrázkov

4.1	Rôzne formáty fixed point aritmetiky [2]	13
4.2	IEEE 754 formát s jednoduchou presnosťou	14
4.3	IEEE 754 formát s dvojitou presnosťou	14
5.1	Schéma jendovstupého a dvojevstupého integrátora	18
5.2	Paralelno-paralelný násobiaci integrátor [14].	20
5.3	Paralelno-paralelný deliaci integrátor [4].	21
5.4	Paralelný jednovstupový integrátor v pohyblivej rádovej čiarke.	23
5.5	EXP - blok pracujúci s exponentmi.	24
5.6	Paralelno-paralelný násobiaci integrátor v pohyblivej rádovej čiarke	25
5.7	Paralelno-paralelný deliaci integrátor v pohyblivej rádovej čiarke	27
5.8	Schéma zapojenia integrátorov [4]	28
6.1	FX aritmetika numerického integrátora.	30
6.2	FX aritmetika delaiceho integrátora na 32 bitoch.	31
6.3	FX aritmetika delaiceho integrátora na 64 bitoch.	31
6.4	Schéma zapojenia integrátorov	38

Zoznam tabuliek

4.1	Štandard IEEE 754 [11]	15
4.2	Výsledok operácie sčítania so špeciálnymi hodnotami	16
4.3	Výsledok operácie násobenia so špeciálnymi hodnotami	17
4.4	Výsledok operácie delenia so špeciálnymi hodnotami	17
5.1	Význam skratiek použitých v obrázku 5.2.	20
5.2	Význam skratiek v obrázku 5.3.	22
5.3	Význam skratiek použitých v obrázku 5.5.	24
6.1	Kontrolér násobiaceho integrátora v FX	33
6.2	Kontrolér násobiaceho integrátora v FP	33
6.3	Kontrolér deliaceho integrátora v FX	34
6.4	Kontrolér deliaceho integrátora v FP.	35
6.5	Kontrolér jednovstupového integrátora v FP	36
6.6	Kontrolér jednovstupového integrátora v FP v zapojení do sústavy	37

Kapitola 1

Úvod

Hlavným cieľom tejto práce je návrh hardvérových komponentov na riešenie rozsiahlych diferenciálnych rovníc. Diferenciálne rovnice sa väčšinou riešia pomocou numerickej integrácie, a teda s použitím vhodných numerických metód. Hardvérový komponent využívajúci numerickú integráciu sa nazýva numerický integrátor.

V kapitole 2 sú predstavené rôzne numerické metódy - Eulerova metóda, metóda Runge-Kutta a Taylorov rad. Najväčšia pozornosť je venovaná metóde Taylorovej rady, ktorá poskytuje vhodný pomer medzi rýchlosťou a presnosťou [3]. Bližší popis a práca s toutou metódou sú uvedené v kapitole 3. Ukážeme si rozdelenie Taylorovej rady na jednotlivé členy a následne úpravu týchto členov tak, aby bolo možné výpočet čo najviac paralelizovať a optimalizovať. Táto úprava bude realizovaná na obyčajných diferenciálnych rovniciach s operáciou násobenia a delenia. Takto upravené a vytvorené rovnice budú následne použité pri návrhu rôznych typov numerických integrátorov.

Kapitola 4 sa zaoberá reprezentáciou operandov v pevnej a v pohyblivej rádovej čiarky. Pri použití pohyblivej rádovej čiarky sú uvedené postupy výpočtu znamienka, exponentu a mantisy na jednoduchých matematických operáciách ako sú sčítanie, odčítanie, násobenie a delenie.

V kapitole 5 sú predstavené a popísané návrhy jednotlivých integrátorov a popis ich činnosti. Podľa rovníc uvedených v kapitole 3, sú navrhnuté paralelné numerické integrátory s operáciou násobenia a delenia. Oba integrátory sú navrhnuté v prevedení pevnej a pohyblivej rádovej čiarky. Operácia delenia je realizovaná pomocou deliacho algoritmu SRT. Bližší popis tohto algoritmu sa nachádza v bakalárskej práci Simulátor procesora s operáciou delenia [4]. Vzájomným zapojením navrhnutých numerických integrátorov je možné riešiť rozsiahle diferenciálne rovnice.

Kapitola 2

Numerická integrácia

Diferenciálne rovnice sú matematické rovnice, v ktorých ako premenné vystupujú derivácie funkcií. Najvyššia derivácia v rovnici udáva rád rovnice. Rovnice, ktoré obsahujú derivácie len podľa jednej premennej, sa nazývajú obyčajné diferenciálne rovnice (ODR). Rovnice, ktoré obsahujú derivácie podľa viacerých premenných, sú takzvané parciálne diferenciálne rovnice (PDR). Diferenciálnu rovnicu je možné riešiť analyticky alebo použitím numerickej metódy. Pri väčšine praktických úloh je analytické riešenie veľmi zložité, preto sa používa skôr riešenie numerické. Základným princípom numerického riešenia je diskretizácia premenných, keď spojitú veličinu nahradíme postupnosťou diskrétnych bodov. Pri použití dostatočne hustom rozložení bodov môžeme približne reprezentovať spojitú veličinu. Vzdialenosť medzi dvoma susednými bodmi sa nazýva krok metódy. Numerické metódy pri svojom výpočte používajú niekoľko predchádzajúcich krokov. Podľa počtu týchto krokov rozdeľujeme numerické metódy na metódy jednokrokové a viackrokové. Jednokrokové metódy pri svojom výpočte používajú len jeden predchádzajúci krok, viackrokové využívajú niekoľko predchádzajúcich krokov. Pri numerických metódach je teda potrebné zvoliť počiatočný stav t.j. počiatočnú podmienku riešenej úlohy. Od nej sa následne počíta hodnota funkcie v ďalšom bode [5].

Najhlavnejšími kritériami pri numerických metódach je ich presnosť a rýchlosť. Tie je možné ovplyvniť veľkosťou integračného kroku a rádom integračnej metódy. Pri počítaní numerickými metódami nedostávame teoreticky presné riešenie, ale výsledok konverguje k správne riešeniu, a teda dostávame výsledok s určitou presnosťou. Výsledná chyba výpočtu je súčet lokálnej a akumulovanej chyby. Lokálna chyba zahŕňa chybu numerickej metódy a zaokrúhľovaciu chybu, ktorá môže byť spôsobená typom hardvérovej architektúry, ako napríklad použitím pevnej alebo pohyblivej rádovej čiarky, ktoré sú bližšie popísané v kapitole 4. Akumulovaná chyba je súčtom lokálnych chýb, a teda sa počas výpočtu zvyšuje. Chyba v jednom kroku tak ovplyvňuje výsledky krokov nasledujúcich.

2.1 Taylorova rada

Táto numerická metóda je tvorená nekonečným radom, avšak na výpočet sa používa len niekoľko jej členov. Počet použitých členov udáva rád metódy. Čím väčší počet členov použijeme, tým je výsledok presnejší. Počet použitých členov môže byť zadaný fixne, alebo sa môže dynamicky meniť v závislosti od požadovanej presnosti. Presnosť sa počíta z viacerých najvyšších členov, a po dosiahnutí požadovanej presnosti výpočet končí. Nekonečnú Taylorovu radu môžeme zapísať:

$$y_{i+1} = y_i + hy'_i + \frac{h^2}{2!}y''_i + \frac{h^3}{3!}y'''_i + \frac{h^4}{4!}y^{(4)}_i + \dots + \frac{h^n}{n!}y^{(n)}_i, \quad (2.1)$$

kde h je veľkosť integračného kroku a i označuje krok diskretizovanej veličiny. Ďalšie popísané metódy sú odvodené od Taylorovej rady.

2.2 Eulerova metóda

Najjednoduchšou jednokrokovou metódou pre riešenie obyčajných diferenciálnych rovníc je Eulerova metóda. Je to Taylorova metóda 1. rádu, keďže používa len prvé dva členy Taylorovej rady. Preto je rýchla, ale menej presná. Zapisuje sa nasledovne:

$$y_{i+1} = y_i + hy'_i \quad (2.2)$$

Zvolením dostatočne malého integračného kroku h môžeme zvýšiť jej presnosť. Čím je však krok menší, tým je výpočet pomalší.

2.3 Runge-Kutta

Ďalšou veľmi známou numerickou metódou je Runge-Kutta. Všeobecná schéma tejto metódy má tvar:

$$\begin{aligned} y_{i+1} &= y_i + \sum_{j=1}^r \alpha_j k_j, \quad i = 0, 1, \dots \\ k_1 &= f(x_i, y_i) \\ k_j &= f(x_i + \lambda_j h, y_i + \mu_j h k_{j-1}), \quad j = 2, \dots, r \end{aligned} \quad (2.3)$$

kde α_j , λ_j a μ_j sú vhodne zvolené konštanty a r určuje rád metódy. Ako je z uvedených rovníc vidieť, pri výpočte sa používajú medzivýpočty k , ktorých počet je rovný rádu metódy. Najznámejšie a najčastejšie používané varianty sú Runge-Kutta 2. a 4. rádu, ktoré sú popísané nižšie.

2.3.1 Runge-Kutta 2. rádu

Táto metóda je oproti Eulerovej metóde presnejšia, ale pri rovnakej veľkosti integračného kroku vyžaduje viac operácií. Na výpočet používa dva medzivýpočty k_1 a k_2 . Má nasledujúci tvar:

$$\begin{aligned} y_{i+1} &= y_i + \frac{1}{2}h(k_1 + k_2) \\ k_1 &= f(t_i, y_i) \\ k_2 &= f(t_{i+1}, y_i + hk_1) \end{aligned} \quad (2.4)$$

2.3.2 Runge-Kutta 4. rádu

Runge-Kutta 4 rádu je najpoužívanější tvar tejto metódy, ktorý môžeme zapísať nasledovne:

$$\begin{aligned}y_{i+1} &= y_i + \frac{1}{6}h(k_1 + 2k_2 + 2k_3 + k_4) \\k_1 &= f(t_i, y_i) \\k_2 &= f(t_{i+1} + \frac{1}{2}h, y_i + \frac{1}{2}hk_1) \\k_3 &= f(t_{i+1} + \frac{1}{2}h, y_i + \frac{1}{2}hk_2) \\k_4 &= f(t_{i+1} + h, y_i + hk_3)\end{aligned}\tag{2.5}$$

Pri výpočte sú použité štyri medzivýpočty, avšak aj napriek tomu má táto metóda dobrý pomer rýchlosti a presnosti.

Kapitola 3

Riešenie diferenciálnych rovníc Taylorovou radou

Na riešenie diferenciálnych rovníc je možné upraviť základný tvar Taylorovej rady (2.1) tak, aby sa dali jednotlivé operácie vykonávať paralelne. Prevod jednoduchej obyčajnej diferenciálnej rovnice je prevzatý z [4]. Ďalšie možné zdroje sú [7], [2].

Obyčajná diferenciálna rovnica:

$$y' = y, \quad y(0) = y_0. \quad (3.1)$$

Z tohto vzťahu vyplýva, že:

$$y = y' = y'' = y''' = y^{(4)} = \dots = y^{(n)}. \quad (3.2)$$

Po dosadení do Taylorovej rady (2.1) získame:

$$y_{i+1} = y_i + hy_i + \frac{h^2}{2!}y_i + \frac{h^3}{3!}y_i + \frac{h^4}{4!}y_i + \dots + \frac{h^n}{n!}y_i \quad (3.3)$$

To je možné prepísať na:

$$y_{i+1} = y_i + DY1_i + DY2_i + DY3_i + DY4_i + \dots + DY(N)_i \quad (3.4)$$

kde je význam jednotlivých členov nasledujúci:

$$\begin{aligned} DY1_i &= hy_i \\ DY2_i &= \frac{h^2}{2!}y_i = \frac{h}{2}DY1_i \\ DY3_i &= \frac{h^3}{3!}y_i = \frac{h}{3}DY2_i \\ DY4_i &= \frac{h^4}{4!}y_i = \frac{h}{4}DY3_i \\ &\vdots \end{aligned} \quad (3.5)$$

Všeobecný zápis:

$$DY(N)_i = \frac{h^n}{n!}y_i = \frac{h}{n}DY(N-1)_i$$

Z týchto vzťahov je možné riešiť jednoduché diferenciálne rovnice, ako je tomu [6], [2]. Zo vzťahov taktiež vyplýva, že každý ďalší člen Taylorovej rady je počítaný z predchádzajúceho, čo vedie k zefektívneniu výpočtu, a to hlavne pri vyšších deriváciách, kde je výpočet častokrát zložitý. Podobným postupom je možné upraviť diferenciálne rovnice, ktoré obsahujú operáciu násobenia alebo delenia, a tiež tak zvýšiť efektívnosť výpočtu týchto výpočtovo náročnejších operácií.

3.1 Riešenie diferenciálnej rovnice s operáciou násobenia

Všeobecný zápis pre diferenciálnu rovnicu s operáciou násobenia je nasledujúci:

$$y' = qr, \quad y(0) = y_0 \quad (3.6)$$

Pre výpočet každej premennej v rovnici je potrebné použiť Taylorovu radu v tvare (3.4). Jednotlivé Taylorove rady vyzerajú nasledovne:

$$y_{i+1} = y_i + DY1_i + DY2_i + DY3_i + DY4_i + \dots + DY(n)_i \quad (3.7)$$

$$q_{i+1} = q_i + DQ1_i + DQ2_i + DQ3_i + DQ4_i + \dots + DQ(n)_i \quad (3.8)$$

$$r_{i+1} = r_i + DR1_i + DR2_i + DR3_i + DR4_i + \dots + DR(n)_i \quad (3.9)$$

Spočítame jednotlivé derivácie rovnice (3.6):

$$\begin{aligned} y' &= qr \\ y'' &= q'r + qr' \\ y''' &= q''r + 2q'r' + qr'' \\ y^{(4)} &= q'''r + 3q''r' + 3q'r'' + qr''' \\ &\vdots \end{aligned}$$

Ako je vidieť, derivácie vytvárajú Pascalov trojuholník a môžeme ich všeobecne zapísať ako:

$$y^{(n+1)} = \sum_{k=0}^n \binom{n}{k} q^{(n-k)} r^{(k)}$$

Z derivácií odvodíme jednotlivé členy Taylorovej rady (2.1), ktoré majú nasledujúci význam:

$$\begin{aligned} \frac{DY1_i}{h} &= DQ0_i DR0_i \\ \frac{DY2_i}{\frac{h^2}{2!}} &= \frac{DQ1_i}{h} DR0_i + DQ0_i \frac{DR1_i}{h} \\ \frac{DY3_i}{\frac{h^3}{3!}} &= \frac{DQ2_i}{\frac{h^2}{2!}} DR0_i + 2 \frac{DQ1_i}{h} \frac{DR1_i}{h} + DQ0_i \frac{DR2_i}{\frac{h^2}{2!}} \\ \frac{DY4_i}{\frac{h^4}{4!}} &= \frac{DQ3_i}{\frac{h^3}{3!}} DR0_i + 3 \frac{DQ2_i}{\frac{h^2}{2!}} \frac{DR1_i}{h} + 3 \frac{DQ1_i}{h} \frac{DR2_i}{\frac{h^2}{2!}} + DQ0_i \frac{DR3_i}{\frac{h^3}{3!}} \\ &\vdots \end{aligned} \quad (3.10)$$

Po úprave dostaneme konečný tvar jednotlivých členov:

$$DY1_i = hq_i r_i \quad (3.11)$$

$$DY2_i = \frac{h}{2}(DQ1_i DR0_i + DQ0_i DR1_i) \quad (3.12)$$

$$DY3_i = \frac{h}{3}(DQ2_i DR0_i + DQ1_i DR1_i + DQ0_i DR2_i) \quad (3.13)$$

$$DY4_i = \frac{h}{4}(DQ3_i DR0_i + DQ2_i DR1_i + DQ1_i DR2_i + DQ0_i DR3_i) \quad (3.14)$$

\vdots

Všeobecný zápis:

$$DY(N)_i = \frac{h}{N} \cdot \left(\sum_{k=1}^N DQ(N-k)_i \cdot DR(k-1)_i \right) \quad (3.15)$$

Uvedený prevod vychádza z práce [14]. Jednotlivé rovnice členov Taylorovej rady budú slúžiť pri návrhu a implementácii násobiacich integrátorov.

3.2 Riešenie diferenciálnej rovnice s operáciou delenia

Podobne, ako v predchádzajúcom prípade, zapíšme diferenciálnu rovnicu s operáciou delenia nasledovne:

$$y' = \frac{u}{v}, \quad y(0) = y_0 \quad (3.16)$$

Jednotlivé Taylorove rady pre premenné v rovnici vyzerajú nasledovne:

$$y_{i+1} = y_i + DY1_i + DY2_i + DY3_i + DY4_i + \dots + DY(n)_i \quad (3.17)$$

$$u_{i+1} = u_i + DU1_i + DU2_i + DU3_i + DU4_i + \dots + DU(n)_i \quad (3.18)$$

$$v_{i+1} = v_i + DV1_i + DV2_i + DV3_i + DV4_i + \dots + DV(n)_i \quad (3.19)$$

Ďalšie derivácie rovnice (3.16) sú:

$$\begin{aligned} y'' &= \frac{u'v - uv'}{v^2} = \frac{1}{v}(u' - y'v') \\ y''' &= \left(\frac{1}{v}(u' - y'v') \right)' = \frac{1}{v}(u'' - 2y''v' - y'v'') \\ y^{(4)} &= \left(\frac{1}{v}(u'' - 2y''v' - y'v'') \right)' = \frac{1}{v}(u''' - 3y'''v' - 3y''v'' - y'v''') \\ &\vdots \end{aligned} \quad (3.20)$$

Aj tu je vidieť, že jednotlivé derivácie tvoria Pascalov trojuholník. Všeobecný zápis je nasledovný:

$$y^{(n+1)} = \frac{1}{v} \left(u^{(n)} - \left(\sum_{k=1}^n \binom{n}{k} y^{(n-k+1)} v^{(k)} \right) \right)$$

Po dosadení jednotlivých členov $DV(n)_i$ a $DU(n)_i$ do derivácií (3.20) dostaneme:

$$\begin{aligned}
\frac{DY1_i}{h} &= \frac{1}{v}u & (3.21) \\
\frac{DY2_i}{\frac{h^2}{2!}} &= \frac{1}{v}\left(\frac{DU1_i}{h} - \frac{DY1_i}{h}\frac{DV1_i}{h}\right) \\
\frac{DY3_i}{\frac{h^3}{3!}} &= \frac{1}{v}\left(\frac{DU2_i}{\frac{h^2}{2!}} - 2\frac{DY2_i}{\frac{h^2}{2!}}\frac{DV1_i}{h} - \frac{DY1_i}{h}\frac{DV2_i}{\frac{h^2}{2!}}\right) \\
\frac{DY4_i}{\frac{h^4}{4!}} &= \frac{1}{v}\left(\frac{DU3_i}{\frac{h^3}{3!}} - 3\frac{DY3_i}{\frac{h^3}{3!}}\frac{DV1_i}{h} - 3\frac{DY2_i}{\frac{h^2}{2!}}\frac{DV2_i}{\frac{h^2}{2!}} - \frac{DY1_i}{h}\frac{DV3_i}{\frac{h^3}{3!}}\right) \\
&\vdots
\end{aligned}$$

Po úprave majú jednotlivé členy Taylorovej rady nasledovný tvar:

$$DY1_i = \frac{1}{v_i}(hu_i) \quad (3.22)$$

$$DY2_i = \frac{1}{2v_i}(DU1_i h - DY1_i DV1_i) \quad (3.23)$$

$$DY3_i = \frac{1}{3v_i}(DU2_i h - 2DY2_i DV1_i - DY1_i DV2_i) \quad (3.24)$$

$$DY4_i = \frac{1}{4v_i}(DU3_i h - 3DY3_i DV1_i - 2DY2_i DV2_i - DY1_i DV3_i) \quad (3.25)$$

\vdots

Všeobecný zápis:

$$DY(N)_i = \frac{1}{NDV0_i} \cdot \left(DU(N-1)_i \cdot h - \left(\sum_{k=1}^{N-1} (N-k) \cdot DY(N-k)_i \cdot DV(k)_i \right) \right) \quad (3.26)$$

Vyjadrenie jednotlivých členov Taylorovej rady vychádza z mojej bakalárskej práce [4]. Takto upravené členy sú následne použité na návrh jednotlivých typov integrátorov popísaných v kapitole 5.

Kapitola 4

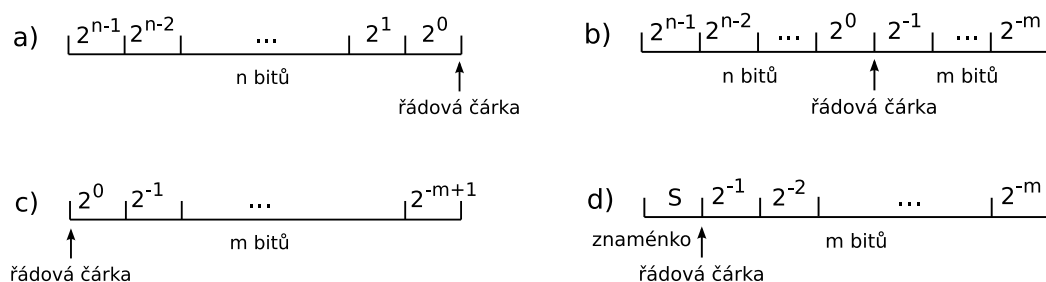
Reprezentácia operandov

Čísla vo výpočtových systémoch sú reprezentované rôznymi spôsobmi v závislosti od zvolenej aritmetiky. Najpoužívanjšie sú reprezentácie čísiel v pevnej a v pohyblivej rádovej čiarky (ang. fixed point (FX) a floating point (FP)). Obe aritmetiky sú popísané v nasledujúcich podkapitolách. Informácie v tejto kapitole sú čerpané z [10], [11], [2], [8], [9].

4.1 Pevná rádová čiarka

Pri počítaní v pevnej rádovej čiarky sú čísla reprezentované na k bitoch v tvare $n.m$, kde prvých n bitov tvorí časť čísla pred desatinnou čiarkou, a zostávajúcich m bitov tvorí číslo za desatinnou čiarkou. Pozícia desatinnej čiarky je dopredu známa. V závislosti od jej pozície sa používajú rôzne formáty pevnej rádovej čiarky. Tie najpoužívannejšie sú znázornené na obrázku 4.1.

Obrázok 4.1a zobrazuje aritmetiku s nulovým počtom bitov za desatinnou čiarkou a teda sa jedná o celočíselnú aritmetiku na n bitoch. Vedľajší obrázok 4.1b zobrazuje aritmetiku s n bitmi pred desatinnou čiarkou a s m bitmi za desatinnou čiarkou. Ďalšia časť obrázku 4.1c je opakom 4.1a, kde je číslo reprezentované len za desatinnou čiarkou na m bitoch. Posledný obrázok 4.1d je podobný ako 4.1c, ale s pridaným znamienkovým bitom S . V tejto práci budem používať FX aritmetiku v tvare 4.1b s pridaním znamienkovým bitom na pozícii MSB (most significant bit).



Obr. 4.1: Rôzne formáty fixed point aritmetiky [2]

Vo fixed point aritmetike sa používajú rôzne kódy, napr. priamy kód, doplnkový kód či inverzný kód. V nasledujúcich kapitolách a pri návrhu integrátorov v pevnej rádovej čiarky budeme používať doplnkový kód.

4.2 Pohyblivá rádová čiarka

Čísla uložené v pohyblivej rádovej čiarkke sú tvorené exponentom a mantisou. Všeobecný tvar na získanie hodnoty uloženej vo FP je nasledujúci:

$$X = B^E \cdot M \quad (4.1)$$

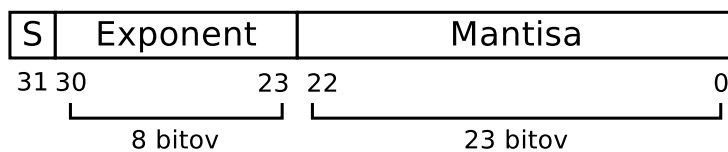
X - výsledná hodnota

B - základ sústavy

E - hodnota exponentu

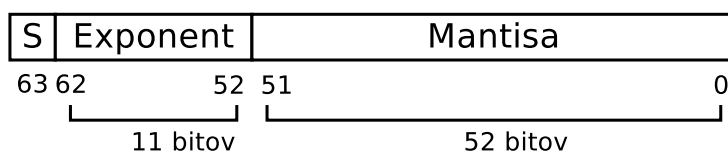
M - mantisa

Zvýšením počtu bitov v exponente E sa zvýši rozsah hodnôt, ktorý je možný reprezentovať, a zvýšením počtu bitov v mantise M sa zvýši presnosť uložených čísel. Existuje veľa formátov uloženia čísel v pohyblivej rádovej čiarkke. Najpoužívanejší a najrozšírenejší je štandard **IEEE 754**. Definuje vlastný formát uloženia čísel a viaceré formáty s rôznou presnosťou. Najpoužívanejšie z nich sú formáty čísel s jednoduchou (single) a s dvojitou (double) presnosťou. Čísla s jednoduchou presnosťou sú uložené na 32 bitoch, kde MSB je znamienkový bit S , ďalších 8 bitov tvorí exponent E , a zvyšných 23 bitov tvorí mantisu M .



Obr. 4.2: IEEE 754 formát s jednoduchou presnosťou

Čísla s dvojitou presnosťou sú uložené v rovnakom formáte ako čísla s jednoduchou presnosťou, avšak líšia sa v počte bitov, ktorý je zväčšený na 64, kde MSB je znamienkový bit S , ďalších 11 bitov tvorí exponent E , a zvyšných 52 bitov tvorí mantisu M .



Obr. 4.3: IEEE 754 formát s dvojitou presnosťou

Znamienko S nadobúda hodnoty 0, čo značí kladné číslo; alebo 1, čo značí záporné číslo. Exponent je uložený v kóde s nepárnyim posunutím o hodnotu BIAS. Táto hodnota je zvolená tak, aby uložený exponent bol vždy kladný. Pri jednoduchej presnosti má teda BIAS hodnotu 127 a pri dvojitej presnosti hodnotu 2047.

Hodnota mantisy je uložená v priamom kóde bez znamienka, znížená o hodnotu 1, keďže je tu použitá tzv. normalizácia. Mantis je normalizovaná do tvaru $1.M$, kde sa jednotka neukladá – je skrytá, čím sa ušetrí jeden bit. Hodnotu takto uloženého čísla získame zo vzťahu:

$$X_{754} = -1^S \cdot 2^{E-BIAS} \cdot (1, M) \quad (4.2)$$

X_{754} - výsledná hodnota

$BIAS$ - 127 alebo 2047

E - hodnota exponentu

M - mantisa

Štandard IEEE 754 definuje aj špeciálne hodnoty ako kladnú/zápornú nulu, kladné/záporné nekonečno, či hodnotu NaN (not a number). Tieto hodnoty sú uvedené v tabuľke 4.1. Hodnota mantisy v normalizovanom tvare je v intervale $< 1, 0; 2, 0$). Ak tomu tak nie je, ide o tzv. denormalizované číslo, a hodnota exponentu je braná ako -126 . Štandard IEEE 754 definuje aj spôsob vykonávania základných matematických operácií, ktoré sú popísané v sekciách 4.2.1 a 4.2.2.

S (znamienko)	E (exponent)	M (mantisa)	význam
0/1	00000000	nulová hodnota	+/- 0
0/1	00000000	nenulová hodnota	+/- denormalizované číslo
0/1	1 - 254	ľubovoľná hodnota	+/- FP číslo
0/1	11111111	nulová hodnota	+/- ∞
0/1	11111111	nenulová hodnota	NaN

Tabuľka 4.1: Štandard IEEE 754 [11]

4.2.1 Súčet a rozdiel

Súčet a rozdiel v pohyblivej rádovej čiarke sa počíta podľa vzorcov

$$X + Y = (M_X \cdot 2^{E_X - E_Y} + M_Y) \cdot 2^{E_Y}, \text{ kde } E_X \leq E_Y \quad (4.3)$$

$$X - Y = (M_X \cdot 2^{E_X - E_Y} - M_Y) \cdot 2^{E_Y}, \text{ kde } E_X \leq E_Y \quad (4.4)$$

Postup výpočtu operácie súčtu/rozdielu v pohyblivej rádovej čiarke podľa štandardu IEEE 754 ([12], [15]) je nasledovný:

1. Na začiatku výpočtu sa obe čísla skontrolujú na výskyt špeciálnych hodnôt z tabuľky 4.1. Ak ide o špeciálne číslo, výsledok sa určí podľa tabuľky 4.2. Inak sa pokračuje bodom 2.
2. Vykoná sa porovnanie exponentov. Ak sú exponenty rozdielne, mantisu menšieho čísla posunieme o rozdiel exponentov doprava. Tým docielime rovnosť oboch exponentov. Pri posune je dôležité, aby sme nezabudli na 1, ktorá je skrytá, kvôli normalizácií. Posun sa vykonáva spolu s toutou 1.
3. Následne sa porovnávajú znamienka, a podľa výsledku sa vykoná súčet alebo rozdiel mantisy väčšieho čísla a posunutej mantisy. Ak došlo k pretečeniu, mantisa výsledku sa posunie o jeden bit doprava a hodnota exponentu sa zvýši. Aby bolo možné pretečenie detekovať, je potrebné sčítanie/odčítanie mantís vykonávať na sčítačke o jeden bit väčšej než je veľkosť mantisy (veľkosťou mantisy sa tu myslí počet bitov potrebných na uloženie mantisy aj so skrytou 1, čiže $|1.M| + 1$).
4. Ak je to potrebné, vykoná sa normalizácia. Mantisa sa posunie o potrebný počet bitov doprava resp. doľava, tak, aby bola v tvare $1.M$. O daný počet bitov sa exponent zvýši resp. zníži.
5. Na koniec výpočtu sa skontroluje hodnota exponentu. Ak je hodnota maximálna, došlo k pretečeniu výsledku. Ten sa nastaví podľa znamienka na kladné alebo záporné nekonečno. V opačnom prípade, ak je hodnota exponentu minimálna (nulová), došlo k podtečeniu, a výsledok je nastavený podľa znamienka na kladnú alebo zápornú nulu.

Hodnota operandu 1	Hodnota operandu 2	Výsledok sčítania
FP číslo	+/- ∞	+/- ∞
+/- ∞	+/- ∞	+/- ∞
+ ∞	- ∞	NaN
NaN	ľubovoľná hodnota	NaN

Tabuľka 4.2: Výsledok operácie sčítania so špeciálnymi hodnotami

4.2.2 Násobenie a delenie

Násobenie a delenie v pohyblivej rádovej čiarke sa počíta nasledovne:

$$X \times Y = (M_X \cdot M_Y) \cdot 2^{E_X + E_Y} \quad (4.5)$$

$$X \div Y = (M_X \div M_Y) \cdot 2^{E_X - E_Y} \quad (4.6)$$

Postup výpočtu operácií násobenia a delenia podľa štandardu IEEE 754 ([12], [15]) je nasledovný:

1. Rovnako ako pri sčítaní, aj teraz sa na začiatku výpočtu skontroluje výskyt špeciálnych hodnôt oboch čísel podľa tabuľky 4.1. Ak ide o špeciálne číslo, výsledok sa určí podľa tabuľky 4.3 alebo 4.4. Pri operácii delenia je potrebné kontrolovať nepovolenú operáciu delenie nulou. Pokračuje sa bodom 2.
2. Pri násobení sa hodnota exponentu vypočíta ako súčet exponentov, od ktorého sa odpočíta hodnota *BIAS*. Pri operácii delenia sa hodnota exponentu vypočíta ako rozdiel exponentov, ku ktorému je pripočítaná hodnota *BIAS*.
3. Výsledná mantisa je rovná súčinu resp. podielu mantís. Pri násobení je potrebné použiť násobičku, ktorej bitová šírka sa rovná dvojnásobku počtu bitov mantisy 1.*M*. Ak dôjde k pretečeniu alebo k podtečeniu mantisy, vykoná sa posun mantisy doprava resp. doľava a hodnota exponentu sa zvýši resp. zníži.
4. Pokiaľ je to potrebné, prebehne normalizácia.
5. Na konci výpočtu sa skontroluje hodnota exponentu. Postupuje sa rovnako ako pri operácii súčtu: ak je hodnota exponentu maximálna, nastaví sa podľa znamienka na kladné alebo záporné nekonečno. V opačnom prípade, ak je hodnota exponentu minimálna (nulová), výsledok sa nastaví podľa znamienka na kladnú alebo zápornú nulu.

Hodnota operandu 1	Hodnota operandu 2	Výsledok násobenia
kladné/záporné FP číslo	+/- ∞	+/- ∞
nula	+/- ∞	NaN
+/- ∞	+/- ∞	+/- ∞
NaN	ľubovoľná hodnota	NaN

Tabuľka 4.3: Výsledok operácie násobenia so špeciálnymi hodnotami

Hodnota operandu 1	Hodnota operandu 2	Výsledok násobenia
kladné/záporné FP číslo	+/- 0	+/- ∞
0	0	NaN

Tabuľka 4.4: Výsledok operácie delenia so špeciálnymi hodnotami

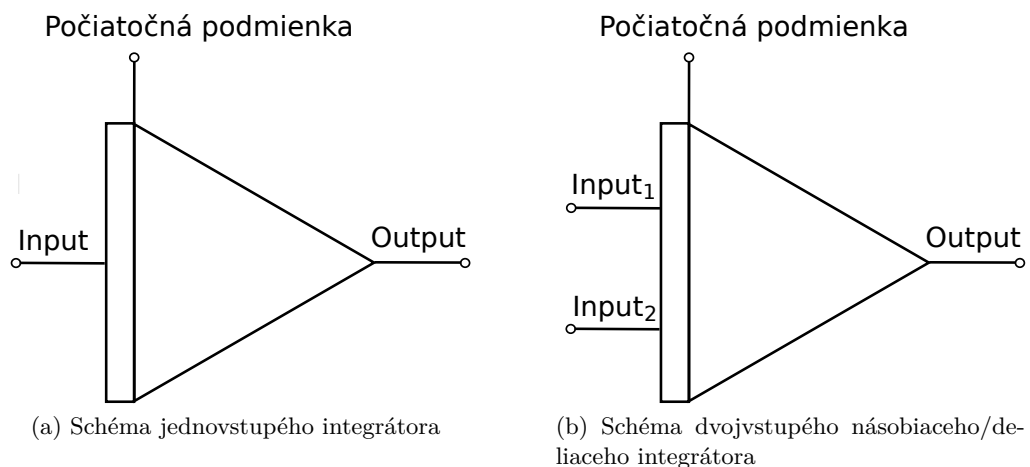
Kapitola 5

Numerické integrátory

Numerický integrátor je hardvérový komponent, ktorý slúži na výpočet numerickej integrácie. Podľa spôsobu výpočtu a komunikácie medzi komponentmi integrátora sa numerické integrátory delia na:

- sériovo-sériové integrátory, skrátene sériové integrátory (sériová komunikácia aj výpočet)
- sériovo-paralelné integrátory (sériová komunikácia a paralelný výpočet)
- paralelno-paralelné integrátory, skrátene paralelné integrátory (paralelná komunikácia aj výpočet)

V tejto práci sa budeme zaoberať paralelnými numerickými integrátormi, kvôli ich jednoduchosti a rýchlosti výpočtu. Ďalej môžeme numerické integrátory rozdeliť na jednovstupé a dvojevstupé. Jednovstupý integrátor vykonáva integráciu vstupnej hodnoty a posiela ju na výstup. Schéma tohto typu integrátora je znázornená na obrázku 5.1a a ako z názvu vyplýva obsahuje jeden vstup pre vstupnú hodnotu. Ďalej obsahuje jeden vstup pre počiatočnú podmienku a jeden výstup pre výsledok výpočtu. Dvojevstupové integrátory obsahujú jeden vstup pre počiatočnú podmienku, dva vstupy pre prívod operandov a jeden výstup pre výsledok výpočtu. Schéma integrátora je znázornená na obrázku 5.1b.



Obr. 5.1: Schéma jednovstupého a dvojevstupého integrátora

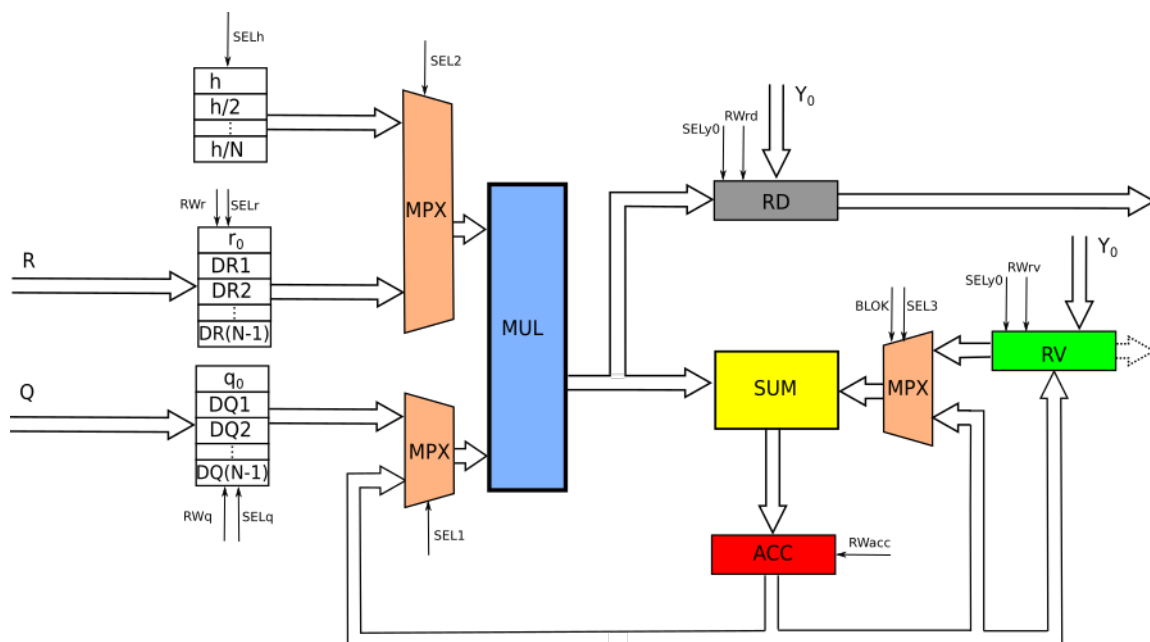
Tieto integrátory rozdeľujeme podľa použitej operácie na násobiace a deliace integrátory. Násobiaci integrátor vykonáva deriváciu násobenia dvoch vstupných hodnôt. Deliaci integrátor zase deriváciu delenia dvoch vstupných hodnôt. Výsledná hodnota je poslaná na výstup.

V nasledujúcich podkapitolách predstavíme jednotlivé návrhy paralelných násobiacich a paralelných deliacich integrátorov, oba typy v pevnej a v pohyblivej rádovej čiarke. Predstíme taktiež jednovstupý paralelný integrátor v pevnej a pohyblivej rádovej čiarke.

5.1 Návrh násobiaceho integrátora v pevnej rádovej čiarke

Násobiaci integrátor počíta rovnicu (3.6) pomocou (3.11) – (3.14). Na základe týchto rovníc bol vytvorený návrh paralelného násobiaceho integrátora, ktorý je na obrázku 5.2. Návrh vychádza z práce V. Závalu [14] a bol upravený a rozšírený o počet registrov $DR(N - 1)$ a $DQ(N - 1)$, ktoré slúžia na ukladanie prichádzajúcich členov. Rozšírený bol aj počet registrov pre uloženie kroku h integračnej metódy a jeho podielov. Počet týchto registrov je o jeden menší ako rád ORD použitej Taylorovej metódy ($N = ORD$), keďže pri výpočte sa používajú predchádzajúce členy Taylorovej metódy. Rád metódy je vhodné a potrebné zvoliť vzhľadom na použitú aritmetiku a požadovanú presnosť.

Každý člen $DY(N - 1)$ obsahuje postupné delenie integračného kroku h . Tieto hodnoty sú predpočítané a uložené v sade registrov h . Pre optimalizáciu a ušetrenia miesta však nie je potrebné uložiť všetkých N hodnôt, stačí uložiť len tie hodnoty, ktorých deliteľ je nepárne číslo. Ostatné hodnoty je možné vypočítať jednoduchým posunom registra doprava, čo je vlastne delenie číslom 2. Je síce potrebné pridať riadice signály pre ovládanie posunu jednotlivých registrov avšak výsledkom je zníženie počtu registrov h o polovicu. Počet operácií potrebných na výpočet sa nezvýši, keďže posun registrov je možné vykonávať v predstihu a paralelne s inými operáciami.



Obr. 5.2: Paralelno-paralelný násobiaci integrátor [14].

Skratka	Popis
R, Q	vstupné operandy integrátora
Y0	počiatočná podmienka
N	maximálny rád metódy
h, h/2...h/N	sada registrov s integračným krokom metódy a jeho podielov
r0, DR1, ...DR(N-1)	sada registrov jednotlivých členov vstupného operandu R
q0, DQ1, ...DQ(N-1)	sada registrov jednotlivých členov vstupného operandu Q
MUL	paralelná násobička
SUM	paralelná sčítačka
ACC	akumulátor - register pre priebežné ukladanie medzivýsledkov
RD	register pre uloženie jednotlivých členov Taylorovej rady
RV	register pre uloženie celkového výsledku
MPX	multiplexor 2-1
SEL1, SEL2, SEL3	riadiace signály multiplexorov
SELh, SELr, SELq	riadiace signály registrov
SELy0	riadiaci signál pre zápis počiatočnej podmienky
RWr, RWq	povoľovacie signály sád registrov (READ/WRITE)
RWrv, RWrd, RWacc	povoľovacie signály registrov (READ/WRITE)
BLOK	blokový signál multiplexora - na výstupe 0

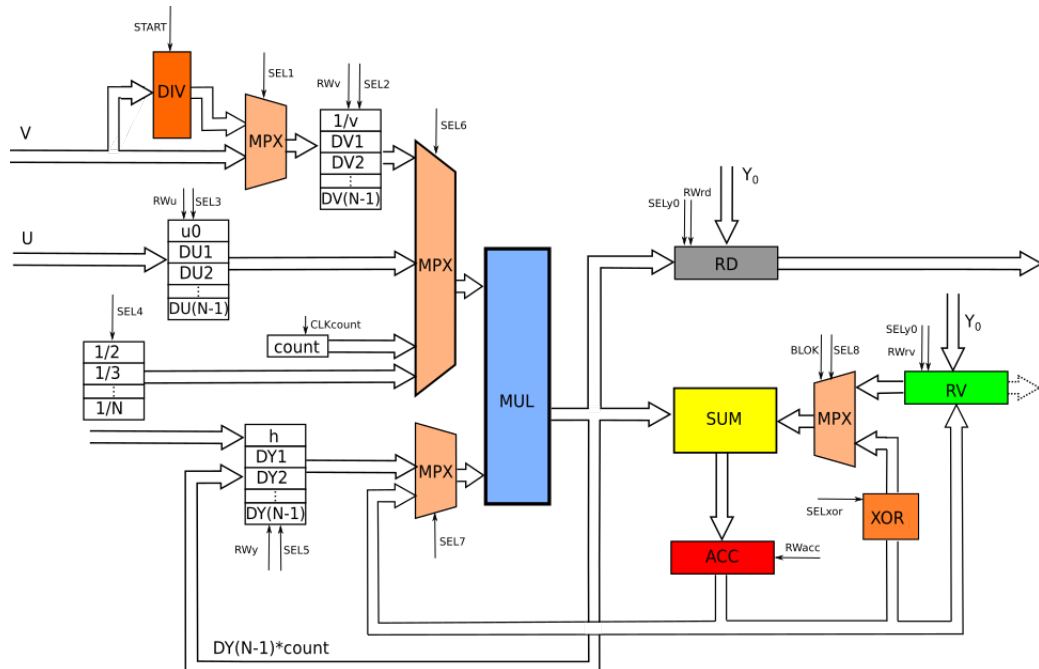
Tabuľka 5.1: Význam skratiek použitých v obrázku 5.2.

Na začiatku výpočtu sú pomocou signálu *RESET* vynulované všetky registre, a nastaví sa potrebné signály na multiplexoroch *MPX*. Následne je do registrov *RV* a *RD* nahraná počiatočná podmienka, do registra *h* je nahraný integračný krok metódy a do registrov *h/i*, $i=2,3..N$ sú nahrané predpočítané hodnoty podielov. Povoľovacím signálom *EN* sa spustí výpočet. Ako prvé sa uložia vstupné hodnoty *R* a *Q* do registrov. Na začiatku každého cyklu

výpočtu sú vstupné hodnoty ukladané postupne do ďalších registrov. Po uložení sa začne samotný výpočet. Hodnota aktuálne počítaného člena Taylorovej rady sa postupne ukladá do registra RD a odtiaľ je privedená na výstup integrátora. Do registra RV je ukladá súčet jednotlivých členov Taylorovej rady - čiže celkový výsledok derivácie vstupných hodnôt. Táto hodnota nás bude zaujímať napríklad keď je integrátor "posledný" v zapojení, čiže jeho výstup nie je nikam pripojený a teda nepotrebujeme použiť hodnoty jednotlivých členov.

5.2 Návrh deliaceho integrátora v pevnej rádovej čiarke

Tento integrátor počíta rovnicu (3.16) pomocou členov (3.22) - (3.25). Podobne, ako u násobiaceho integrátora, bol z týchto rovníc vytvorený návrh paralelného deliaceho integrátora. Návrh vychádza z mojej bakalárskej práce [4] a bol upravený podobne ako predošlý násobiaci integrátor zvýšením počtu registrov $DU(N-1)$ a $DV(N-1)$. Taktiež sa zvýšil počet registrov $DY(N-1)$, ktoré slúžia na uloženie jednotlivých členov Taylorovej rady, keďže na výpočet nasledujúceho člena je použitý predchádzajúci člen. Sada týchto registrov okrem hodnôt $DY(n-1)$ obsahuje register pre uloženie kroku h integračnej metódy. Deliaci integrátor, na rozdiel od násobiaceho integrátora, nepotrebuje pri výpočte hodnoty podielov kroku numerickej metódy a teda stačí uložiť len jednu hodnotu h . Deliaci integrátor ale používa sadu registrov, ktorá obsahuje hodnoty $1/N$. Podobne ako u násobiaceho integrátora je možné zmenšiť počet týchto registrov na polovicu s využitím aritmetického posunu (operácia *shift*). Register *count* obsahuje *counter*, ktorý sa postupne inkrementuje v každom cykle výpočtu, a s ktorým sa násobí hodnota $DY(N-1)$. Vyplýva to z rovníc (3.22) - (3.25) a (3.26), kde pri výpočte každého člena Taylorovej rady sa hodnota $DY(N-k)$ násobí hodnotou $N-k$. Výsledná vynásobená hodnota je uložená opäť do daného registra $DY(N-1)$ a znova použitá v ďalšom výpočte. Tým sa ušetrí operácia násobenia v ďalšom cykle výpočtu.



Obr. 5.3: Paralelno-paralelný deliaci integrátor [4].

Skratka	Popis
V, U	vstupné operandy integrátora
1/v, DV1, ... DV(N-1)	sada registrov jednotlivých členov vstupného operandu V
u0, DU1, ... DU(N-1)	sada registrov jednotlivých členov vstupného operandu U
count	čítač cyklov výpočtu - N
1/2, 1/3, ... 1/N	sada registrov s jednotlivými podielmi
h, DY1, ... DY(N-1)	sada registrov s krokom metódy a s vypočítanými členmi
DIV	delička
XOR	invertovanie hodnoty v dvojkovom doplnku (xor +1)
MPX	multiplexor 2-1, 4-1
START	povoľovací signál na spustenie výpočtu
SEL1, SEL6, SEL7, SEL8	riadiace signály multiplexorov
SEL2, SEL3, SEL4, SEL5	riadiace signály registrov
SELxor	signál na invertovanie vstupnej hodnoty
CLKcount	signál na zvýšenie hodnoty čítača
RWv, RWu, RWy	povoľovacie signály sád registrov (READ/WRITE)

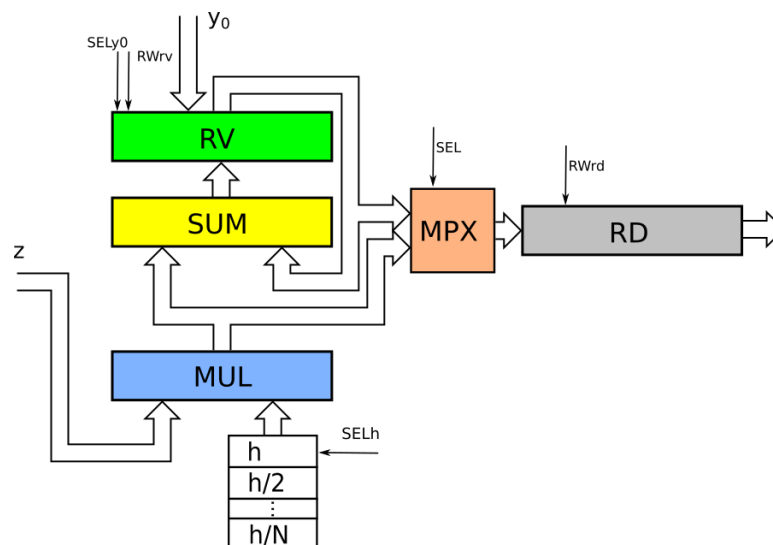
Tabuľka 5.2: Význam skratiek v obrázku 5.3.

Podobne ako pri násobiacom integrátore, aj pri paralelnom deliacom integrátore sú na začiatku výpočtu vynulované registre pomocou signálu *RESET* a nastavené signály multiplexorov *MPX*. Ďalej je do registrov *RD* a *RV* nahraná počiatočná podmienka a do registra *h* je nahraný integračný krok. Do registrov $1/n$ sú uložené predpočítané konštanty. Po prijatí hodnôt *U* a *V* sa začne výpočet. Hodnota *V* je privedená do deličky *DIV* a spustí sa výpočet $1/v$ s použitím deliaceho algoritmu *SRT*. Delenie je realizované len raz počas celého výpočtu, keďže ide o veľmi náročnú operáciu. Po skončení operácie delenia je výsledok uložený do sady registrov *DVN* a to konkrétne do registra $1/v$. V ďalšom vykle výpočtu je vstupná hodnota *V*, privedená priamo do sady registrov *DVN* bez delenia. Hodnota *U* je uložená do sady registrov *DUN*. Kvôli optimalizácii je paralelne s delením realizovaný výpočet násobenia *uh*. Po skončení výpočtu je výsledok aktuálneho člena uložený do registra *RD* a privedený na výstup deliaceho integrátora. Suma jednotlivých členov je postupne ukladaná v každom cykle do registra *RV*, z ktorého, rovnako ako v násobiacom integrátore, je možné získať hodnotu privedeným na výstup.

5.3 Návrh jendovstupého integrátora

Tento integrátor bol navrhnutý podľa rovníc (3.5) na základe ktorých počíta diferenciálnu rovnicu (3.1). Z toho vyplýva, že vykonáva numerickú integráciu vstupnej hodnoty a následne výslednú hodnotu posiela na výstup. Schéma integrátora je na obrázku 5.4 a vychádza z práce J. Opálku [6]. Na naštartovanie výpočtu slúži počiatočná podmienka. Tá je nahraná na začiatku výpočtu do registra *RV*. Následne je cez multiplexor *MPX* privedená a uložená do registra *RD*. V sade registrov *h* je uložený integračný krok metódy a jeho podiely. Rovnako ako vpredchádzajúcich prípadoch je možné počet registrov znížiť na polovicu. Vstupnú hodnotu *Z* nie je potrebné ukladať do registrov, keďže sa nepoužíva pri výpočte ďalších členov. Jednotlivé hodnoty členov sú ukladané do registra *RV* a poslané na výstup integrátora. Ak chceme získať výslednú hodnotu Taylorovej rady rovnice (3.1), stačí priviesť hodnotu z

registra RV cez multiplexor MPX do registra RD , kde je hodnota sprístupnená na výstupe integrátora.

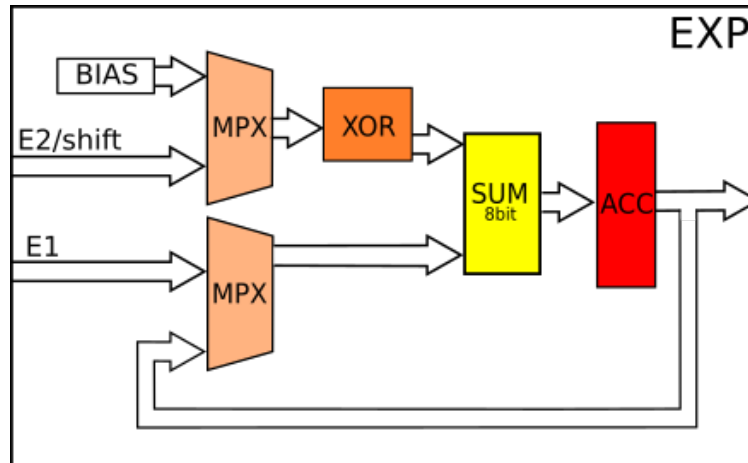


Obr. 5.4: Paralelný jednovstupový integrátor v pohyblivej rádovej čiarke.

5.4 Návrh komponentu pre spracovanie exponentov

V pohyblivej rádovej čiarke sú operácie násobenia, delenia a sčítania (odčítania) zložitejšie, nakoľko je k týmto operáciám pridaná aj práca s výpočtom znamienka, exponentu a mantisy. Výpočet exponentov je možné vykonávať v každej z komponent (násobička, delička, sčítačka) samostatne alebo pomocou jednej komponenty zdieľanej medzi týmito komponentmi. Pri zdieľanom prístupe je možné znížiť priestorovú zložitosť zapojenia, ale zvýši sa tým náročnosť riadenie kontroléra a synchronizácia. V deliacom integrátore to môže spôsobiť zdržanie výpočtu, keď sa operácia delenia a násobenia vykonávajú paralelne. Avšak táto situácia nastane len raz na začiatku výpočtu. Predošlé popísané návrhy násobačeho, deliaceho a jednovstupového integrátora je možné použiť ako pri implementácii v pevnej rádovej čiarke tak aj v pohyblivej rádovej čiarke. Integrátory v pohyblivej rádovej čiarke vychádzajúce z popísaných návrhov pracujú s exponentami v každej operácii samostatne. V nasledujúcich sekciách si popíšeme druhú variantu spracovania exponentu so sdielaným komponentom.

Blokové schémy zapojenia integrátorov pracujúcich v pohyblivej rádovej čiarke vychádzajú z predchádzajúcich návrhov, ale boli rozšírené o prácu so znamienkami, s mantisou a s exponentmi. Samotný výpočet exponenta sa deje v zdieľanom komponente EXP , ktorého návrh je zobrazený na obrázku 5.5.



Obr. 5.5: EXP - blok pracujúci s exponentmi.

Skratka	Popis
E1	vstupná hodnota väčšieho exponenta
E2/shift	vstupná hodnota menšieho exponenta/hodnota posunu
BIAS	hodnota 127 alebo 2047
SUM (8/11bit)	paralelná 8 alebo 11 bitová sčítačka
INV	invertor

Tabuľka 5.3: Význam skratiek použitých v obrázku 5.5.

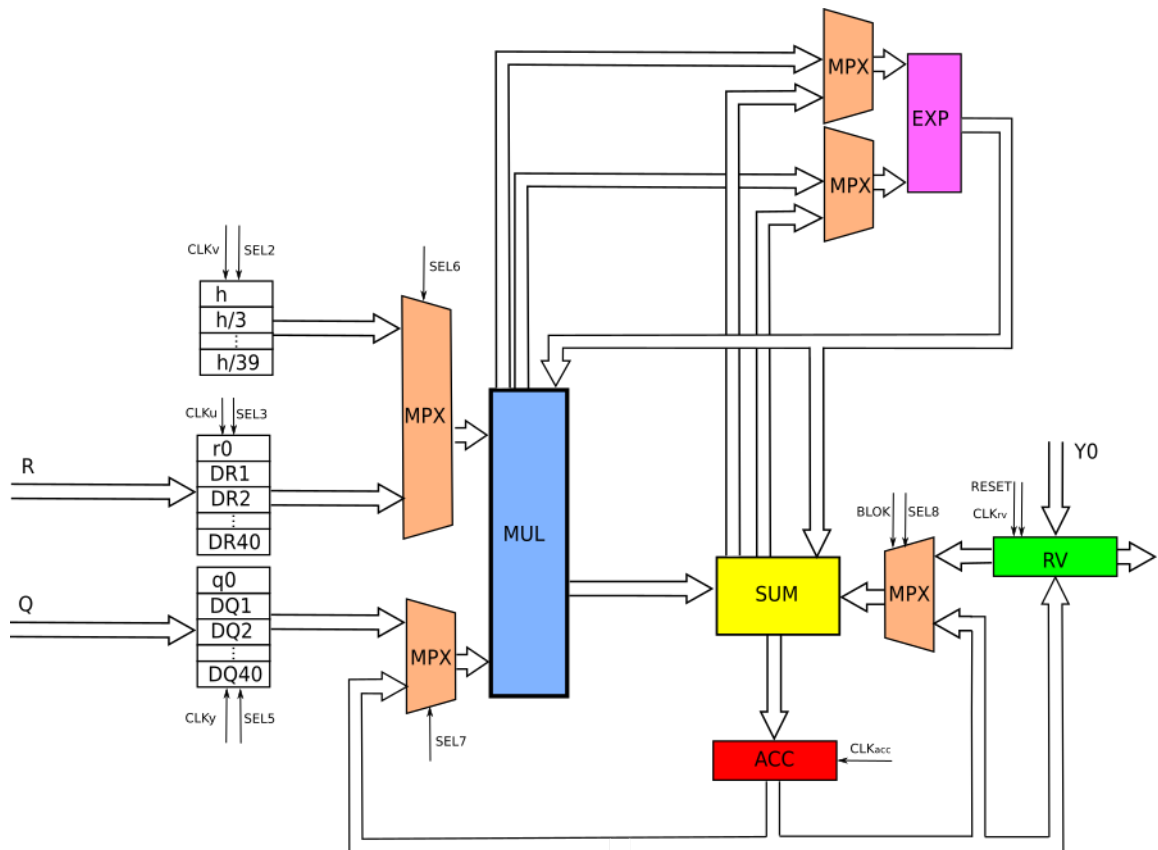
Komponent *EXP* slúži na vykonávanie výpočtov s exponentmi, ktoré sú popísané v sekciách 4.2.1 a 4.2.2. Obsahuje dva vstupy, do ktorých sú privedené jednotlivé exponenty z komponentov *DIV*, *MUL* a *SUM* a jeden výstup. Celý komponent *EXP* pracuje na počte bitov rovnému veľkosti exponenta, ktorá je závislá na použitej aritmetike. Pri jednoduchej presnosti (32 bitov) na 8 bitoch alebo na 11-bitoch pri dvojitej presnosti (64 bitov). Komponent teda obsahuje buď 8 bitovú alebo 11 bitovú sčítačku a ostatne komponenty v rovnakej bitovej šírke. Pri vykonávaní operácie súčiny alebo rozdielu slúži komponent *EXP* na výpočet rozdielu exponentov. Výsledná hodnota rozdielu je privedená naspäť do sčítačky *SUM* cez register *ACC*. O túto hodnotu je následne v sčítačke posunutá hodnota mantisy menšieho čísla doprava. Výsledná hodnota mantisy je potom súčet/rozdiel mantisy väčšieho čísla a posunutej mantisy. Znamienko a exponent sú rovné hodnote väčšieho čísla z počítaných operandov. Pri operácii delenia alebo násobenia slúži komponent *EXP* na výpočet výsledného exponentu. Podľa typu operácie sa vykoná súčet alebo rozdiel prijatých exponentov. Táto hodnota je uložená v registri *ACC* a privedená naspäť do sčítačky *SUM*_{8/11bit} s hodnotou z registra *BIAS*. Vykoná sa súčet alebo rozdiel týchto hodnôt. Získame tak hodnotu nového exponentu, ktorá je privedená naspäť do násobičky *MUL* alebo deličky *DIV*. Ak však je po delení alebo násobení potrebné vykonať posun mantisy hodnoty vypočítaného exponentu je privedená z *ACC* cez multiplexor *MPX* naspäť do sčítačky *SUM*_{8/11bit} a na vstup *E2/Shift* je privedená hodnota posunu. Vykoná sa rozdiel hodnôt, čím vykonáme posun exponentu. Následne je výsledná hodnota privedená do násobičky *MUL* alebo deličky *DIV* a použitá ako nová hodnota exponentu.

Kvôli prehľadnosti neobsahuje schéma zapojenia znázornenie výpočtu znamienka a rozdelenie operandov na znamienko, exponent a na mantisu, a ich opätovné zloženie. Tieto

operácie sa vykonávajú v komponentoch *DIV*, *MUL* a *SUM*.

5.5 Návrh násobiaci integrátora v pohyblivej rádovej čiarke

Návrh paralelného násobiaceho integrátora v pohyblivej rádovej čiarke so zdieľaným komponentom *EXP* je na obrázku 5.2. Čísla v pohyblivej rádovej čiarke môžeme zobrazit presnejšie ako čísla v pevnej rádovej čiarke, čiže pri uložení malých čísel v pohyblivej rádovej čiarke dochádza k menšej zaokrúhľovacej chybe. Z tohto dôvodu je možné počítať Taylorovu radu s použitím väčšieho počtu členov a zvýšiť tak presnosť výpočtu. Inegrátory v pohyblivej rádovej čiarke teda môžu počítať viac členov Taylorovej rady a teda počet registrov $DR(N-1)$ a $DQ(N-1)$ sa zvýši. Sada registrov $h/i, i = 2, 3..N$ obsahuje $N-1$ registrov. Počet týchto registrov je možné znížiť rovnako ako pri integrátoroch v pevnej rádovej čiarke.



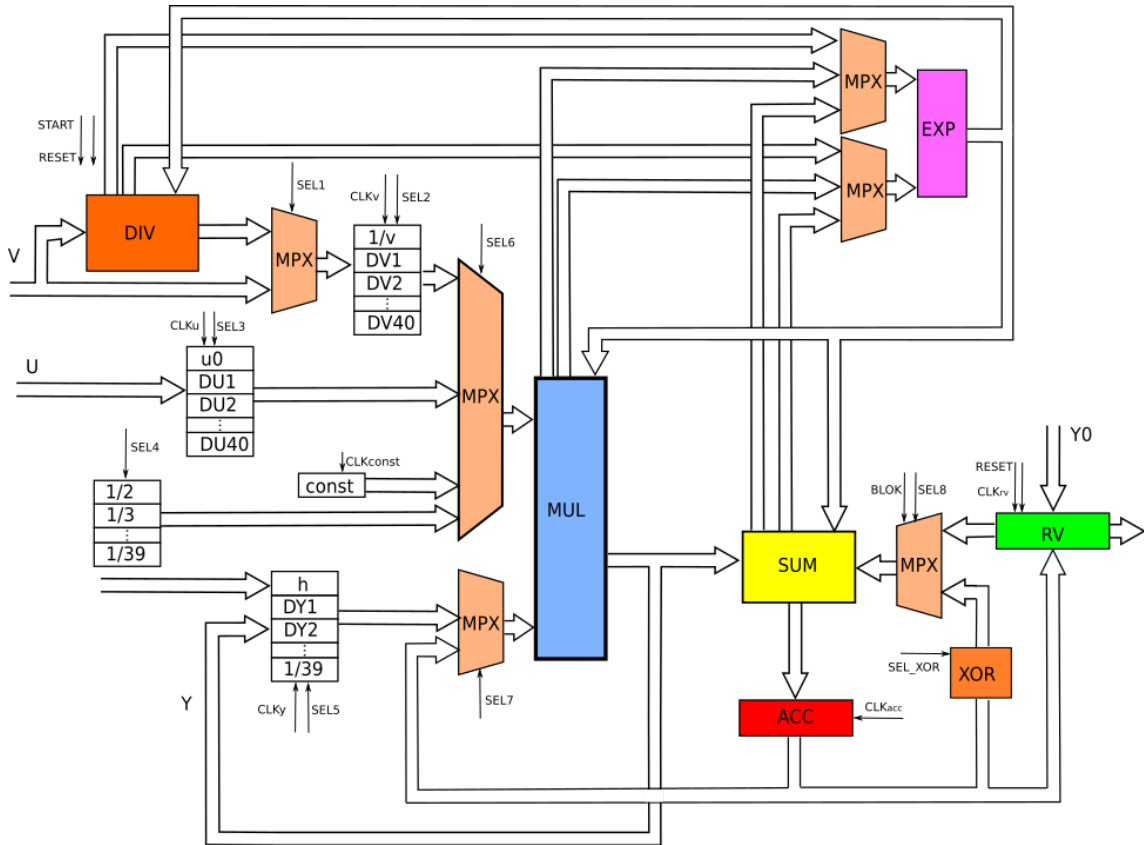
Obr. 5.6: Paralelno-paralelný násobiaci integrátor v pohyblivej rádovej čiarke

Spôsob výpočtu paralelného násobiaceho integrátora v pohyblivej rádovej čiarke so zdieľaným komponentom *EXP* je takmer rovnaký ako pri násobiacom integrátore v pevnej rádovej čiarke. Rozdielne sa vykonávajú operácie násobenia a sčítania. Po privedení hodnôt na vstupy násobičky *MUL* alebo sčítačky *SUM* sú čísla v FP uložené do pomocných registrov v týchto komponentoch. Z týchto registrov sú jednotlivé časti FP čísla roz distribuované do samostatných výpočetných obvodov. V komponente *MUL* sú znamienka privedené ku komponentu *XOR*, ktorý vykonáva nonekvivalenciu. V komponente *SUM* je výsledné zna-

mienko rovné znamienku väčšieho zo vstupných čísel. Exponenty, ako je popísané vyššie, spracúva komponent *EXP*. Mantisy sú privedené do paralelnej násobičky alebo sčítačky. Veľkosť výsledku násobičky je dvojnásobná ako veľkosť mantisy so skrytou jednotkou t.j. 48 bitov pri jednoduchovej presnosti a 106 bitov pri dvojitej presnosti. Veľkosť sčítačky je rovná veľkosti mantisy so skrytou jednotkou t.j. 24 alebo 53 bitov. Výsledné hodnoty jednotlivých častí čísla v pohyblivej rádovej čiarke sú na výstupe spojené do jedného čísla a uložené do výstupného registra daného komponentu (*MUL* alebo *SUM*). Následne sú poskytnuté na jeho výstupe k ďalšiemu výpočtu.

5.6 Deliaci integrátor v pohyblivej rádovej čiarke

Paralelný deliaci integrátor v pohyblivej rádovej čiarke so zdieľaným komponentom *EXP* je najzložitejší z navrhnutých integrátorov. Obsahuje všetky spomínané operácie: sčítanie, odčítanie, násobenie a delenie; a všetky vykonáva v pohyblivej rádovej čiarke, kde práca s exponentami je vykonávaná v jednej komponente *EXP*. Operácie násobenia a sčítania sa vykonávajú rovnako ako v paralelnom násobiacom integrátore v pohyblivej rádovej čiarke. Operácia delenia sa vykonáva iba raz za celý výpočet a to paralelne s operáciou násobenia, ako je tomu aj v deliacom integrátore v FX aritmetike. Tu však môže dôjsť ku kolízii v použití komponentu *EXP*. Keďže delenie je náročnou operáciou kde dĺžka výpočtu závisí na použití daného algoritmu. Podľa zvoleného algoritmu je potom potrebné zvoliť, ktorá operácia bude mať prednosť v použití komponentu *EXP*. Po uvoľnení *EXP* násobičkou *MUL* je komponent *EXP* pridelený deličke *DIV* na výpočet exponentov. Ak je použitý zdĺhavejší algoritmus pri výpočte delenia (napr. SRT algoritmus použitý v deliacom integrátore v FX aritmetike), čiže operácia delenia trvá dlhší čas ako operácia násobenia, je vhodnejšie prenechať najprv komponentu *EXP* operáciám násobenia. Ak je deliaci algoritmus veľmi rýchly (napr.) a čas výpočtu je podobný času výpočtu operácií násobenia, tak potom nezáleží ktorá z komponent bude prvá využívať *EXP*. Po skončení delenia je podiel uložený do registra $1/v$ a pokračuje sa v ďalšom výpočte. Výpočet prebieha podobne ako pri deliacom integrátore bez komponentu *EXP*. Rozdielne sa vykonávajú operácie delenia, násobenia a sčítania. Ďalší rozdiel je v komponente *XOR*, ktorá bola nahradená komponentom *INV*. Prevrátenie hodnoty čísla sa v pevnej rádovej čiarke použitím doplnkového kódu deje operáciou *XOR* a pričítaním jednotky ako tomu je v predchádzajúcom deliacom integrátore. V pohyblivej rádovej čiarke sa však inverovanie hodnoty čísla vykonáva jednoduchým invertovaním znamienkového bitu *S* vstupného operandu. Toto invertovanie sa vykonáva v spomínanej komponente *INV*.



Obr. 5.7: Paralelno-paralelný deliaci integrátor v pohyblivej rádovej čiarke

5.7 Sústava diferenciálnych rovníc

Integrátory, ktoré sme si popísali je možné medzi sebou zapojiť a riešiť tak diferenciálnu rovnicu. Po zapojení integrátorov nebude nutné predpočítavať vstupné hodnoty, ale stačí zadať počiatočné podmienky na naštartovanie výpočtu a všetky ostatné hodnoty sa dopočítajú. Zvoľme konkrétnu diferenciálnu rovnicu s operáciou násobenia v tvare:

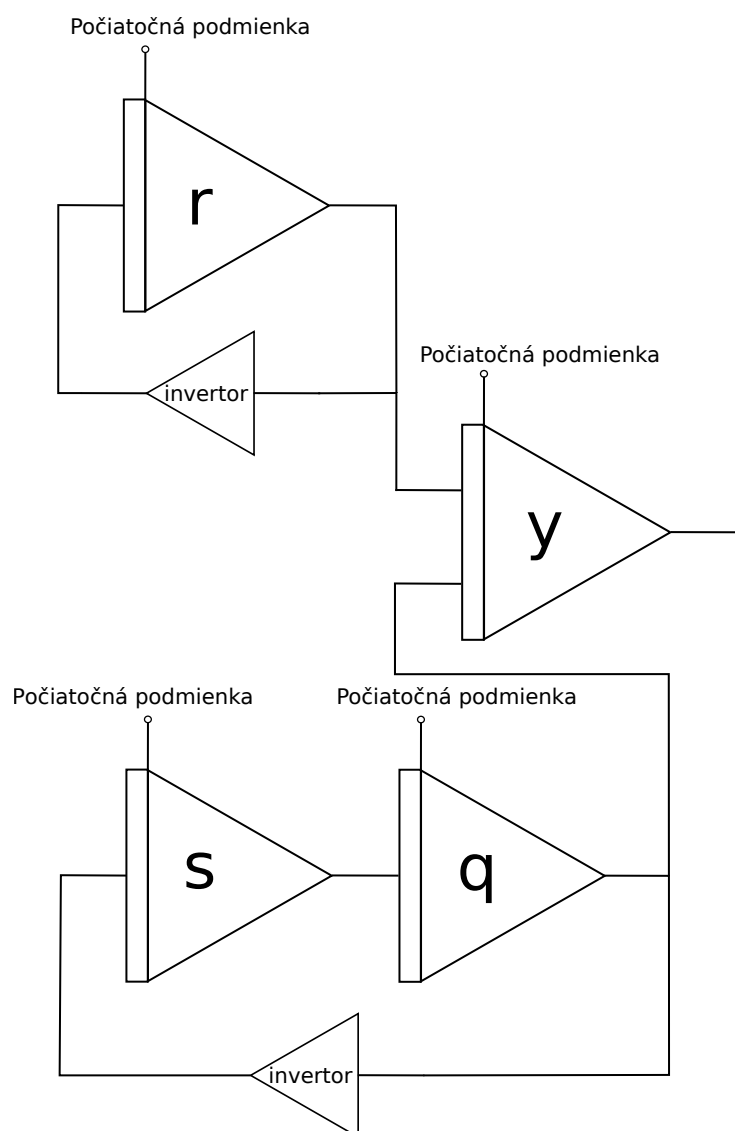
$$y' = \sin(t)e^{-t}, \quad y(0) = 1 \quad (5.1)$$

Rovnicu prevedieme do sústavy diferenciálnych rovníc:

$$\begin{aligned} y' &= qr, & y(0) &= 1 \\ r' &= -r, & r(0) &= 1 \\ q' &= s, & q(0) &= 0 \\ s' &= -q, & s(0) &= 1 \end{aligned} \quad (5.2)$$

Zo sústavy rovníc vytvoríme schému zapojenia integrátorov znázornenú na obrázku 5.8. Schému tvoria tri jednovstupové integrátory r , q a s , dvojevstupový násobač y a dva inverotri. Invertor je komponenta, ktorá invertuje prichádzajúcu hodnotu. Integrátor

r a invertor tvoria spolu funkciu e^{-t} . Integrátory r , s a invertor tvoria spolu funkciu $\sin(t)$. Nakoniec sú tieto hodnoty privádzané na vstup násobiaceho integrátora y , ktorý počíta diferenciálnu rovnicu 5.1. TODO rovnicu s deliacim integrátorom. Zo schémy zapojenia je možné následne vytvoriť VHDL kód a vykonať výpočet na FPGA. Takýto postup je vhodný pre rozsiahle diferenciálne rovnice s väčším počtom operácií, ktorých výpočet by bol vykonávaný veľmi často. Vhodnejší spôsob použitia sa ponúka prepojovacia sieť medzi rôznymi integrátormi. Pred výpočtom by sa sieť nakonfigurovala podľa danej diferenciálnej rovnice a výpočet by mohol prebiehať bez nutnosti syntézy. Táto varianta je síce priestorovo náročná, ale ponúka variabilitu výpočtu. V ďalšej kapitole si predstavíme implementáciu popísaných integrátorov a taktiež implementáciu sústavy diferenciálnych rovníc pomocou metódy bez použitia prepojovacej siete.



Obr. 5.8: Schéma zapojenia integrátorov [4]

Kapitola 6

Popísanie integrátorov vo VHDL

Jednotlivé integrátory predstavené v kapitole 5 boli popísané v jazyku VHDL v prostredí Xilinx ISE a následne odsimulované v nástroji Model Sim pozitím *testbenchu*. Následne niektoré z integrátorov boli otestované na programovateľnom hradlovom poli FPGA. Pre priestorovú zložitosť paralelných integrátorov bola snaha implementovať integrátory na rozsiahlejšom čipe FPGA a to konkrétne na VIRTEX-5 s čipom XC5VSX50T. Pre prácu s týmto čipom je potrebná plná verzia programu Xilinx ISE s licenciou. Poskytnutie licencie od školy pre študenta však nie je možné. Riešením nakoniec bolo použitie licencie pomocou pripojenia sa na fakultnú sieť cez VPN. Následne bol integrátor implementovaný na VIRTEX-5, avšak skončenie výpočtu bolo možné detekovať len rozsvietením diódy, čo je nepoužiteľný spôsob pre získanie hodnoty výsledku. Preto bolo snahou výsledok zobrazit na LCD displeji, prípadne vytvoriť komunikáciu cez terminál. Spreádzkovanie displeja podľa rôznych návodov bolo neúspešné a pre komunikáciu s terminálom bolo potrebné doinštalovať ďalšie programy. Vzhľadom na dané komplikácie bolo teda nutné použiť iný čip a to konkrétne FPGA Spartan 3 XC3S50, ktorý je použitý v študijnej pomôcke FitKit 2.0. Avšak veľkosť tohto FPGA je veľmi malá a ani jeden z navrhnutých integrátorov nie je možné naprogramovať na tento čip. Po konzultácii s Ing. Václavom Šimekom mi prepožičal prípravok FitKit 2.0 s vymenením FPGA za väčší a to za Spartan 3 XC3S400. Práca s týmto FPGA je kompatibilná z predchádzajúcim čipom a preto bolo možné na programovanie použiť nástroj QDevKit. Jedná sa o multiplatformový terminálový program pre jednoduchú prácu s FitKitom. Všetky parametre sú už v programe nastavené a komunikácia prebieha cez USB namiesto emulovaného sériového portu ako je to pri iných terminálových programoch. Informácie o FitKite, programe QDevKit a taktiež návody na vytvorenie vlastnej aplikácie boli čerpané z webstránky FitKitu [13]. Na Fitkite bol odskúšaný jednovstupový integrátor s 32 bitovou floating point aritmetikou. Tento integrátor bol vybraný kvôli jeho najmenšej priestorovej zložitosti. Ďalej bol implementovaný integrátor počítajúci rovnicu xx . Integrátor pracuje na 32 bitoch a používa FX aritmetiku. Rovnica je počítaná Taylorovou radou 4. rádu. Ostatné integrátory a verzie integrátorov nie je možné nahradiť na FPGA použité vo Fitkite.

Jednotlivé časti integrátorov boli popísané samostante a následne vytvorená štruktúra vzájomného prepojenia, ktorá tvorí celý integrátor. U každého integrátora sú jednotlivé kroky výpočtu riadené kontrolérom. Ten je tvorený cyklickým konečným automatom. Cyklus vyplýva z rovníc (3.15) a (3.26), keďže výpočet jednotlivých členov je podobný, avšak so zväčšujúcim sa počtom operácií. Samozrejme po skončení výpočtu je možné signálom *RESET* prejsť do počiatočného stavu a zadaným novým počiatočným podmienkám začať nový výpočet. Ďalej si popíšeme jednotlivé integrátory podrobnejšie.

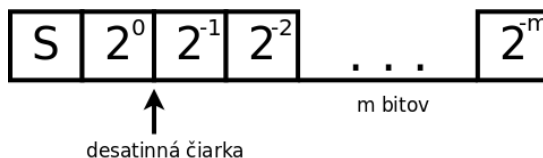
6.1 Integrátory v pevnej rádovej čiarke

Všetky integrátory v pevnej rádovej čiarke (t.j. deliaci, násobiaci a jednovstupový) kódujú čísla v dvojkovom kóde. Použité sčítačky a násobičky sú paralelné a výpočet operácie trvá jeden hodinový takt. Pri výpočte je ale nutné použiť dva takty, aby došlo k ustáleniu signálov. Jeden na nastavenie signálov a druhý pre uloženie výsledku.

Násobiaci integrátor

Paralelný dvojevstupový násobiaci integrátor vo fixpoint aritmetike bol implementovaný v dvoch verziách a to na 32 a 64 bitoch. Veľkosť použitej aritmetiky je však možné jednoducho zväčšiť, keďže celý kód je písaný genericky. Taktiež je možné zmeniť počet cyklov výpočtu, čiže počet počítaných členov Taylorovej rady, avšak v závislosti od počtu cyklov N je nutné upraviť počet registrov v registrovcých sadách. U násobiaceho integrátora sú to sady registrov $DQ(N-1)$, $DR(N-1)$ a počet registrov h/i , kde $i = 2..N$. U deliaceho integrátora je potrebné zväčšiť počet registrov $DV(N-1)$, $DU(N-1)$ a $1/i$, kde $i = 2..N$. Taktiež s tým súvisí, že je potom potrebné zväčšiť bitovú šírku riadiacich signálov označovaných s prefixom *SEL*. Bitovú šírku signálov je vhodné zvoliť z počtu N registrov podľa vzťahu *šírka registrov* $= \log_2 N$ a využiť tak celú šírku a kombinácie binárneho kódovania.

Pre 32 i 64 bitovú verziu bola použitá FX aritmetika, ktorá je je názorne zobrazená na obrázku 6.1. Aritmetika je tvorená s jedným znamienkovým bitom, s 1 bitom pred desatinnou čiarkou a s m bitmi za desatinnou čiarkou. Pri jednoduchej presnosti je m rovné 30 bitom a pri dvojitej presnosti 62 bitom. Výpočet počíta s Taylorovou metódou 8. rádu a teda výpočet prebieha až po 8. člen Taylorovej rady t.j. DY8.



Obr. 6.1: FX aritmetika numerického integrátora.

Násobiaci integrátor je ovladaný pomocou kontroléru. Jednotlivé stavy kontroléru a nastavenia signálov sú uvedené v tabuľke 6.1. Kontrolér obsahuje 9 stavov a dva čítače *count* a *countQ*. *count* udáva číslo aktuálneho cyklu a *countQ* je v každom cykle nastavený na hodnotu *count* a postupne sa dekrementuje. Výpočet začína nastavením signálu *reset* na logicku 1. To spôsobí prepnutie násobiaceho integrátora do stavu s rovnakým názvom, čiže *Reset*. V ňom sa integrátor uvedie do počiatočného stavu. Vynulujú sa počítadlá a čaká sa na povoľovací signál *EN*, ktorým sa prepne integrátor do stavu *Init*. V tomto stave je nahraná počiatočná podmienka a uložené vstupné hodnoty. Výpočet prejde do stavu *MulDQxDRx*. V ňom sú vynásobené jednotlivé členy DQ_i a DR_j , kde i, j značí aktuálne počítaný člen. Z rovnice xx plynie že sa vykonáva násobenie kombinácií týchto členov. K tomu slúžia spomenuté čítače *count* a *countQ*. Na základe nich sa nastaví signály *SEL_R* a *SEL_Q*. Po vynásobení členov je výsledok v stave *WriteAcc* uložený do akumulátora. Zo stavu *WriteAcc* je integrátor prepnutý buď do stavu *SetupCounter* alebo do stavu *MulAccH_RV*. V stave *SetupCounter* sa dekrementuje počítadlo *countQ* a začína sa násobenie ďalšej kombinácie členov DQ_i a DQ_j . Ak sú vynásobené všetky kombinácie týchto členov, stačí už len obsah

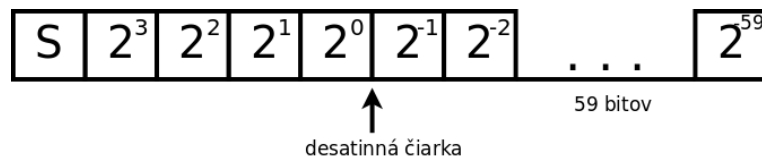
akumulátora vynásobiť hodnotou h/N . Integrátor je teda prepnutý do stavu *MulAccH_RV* a vykoná sa operácia násobenia. Výsledok je uložený do registra *RD* (nejedná sa o variantu "posledného integrátora v zapojení). Potom v stave *SaveToAcc* je hodnota sčítaná s hodnotou registra *RV* a uložená do akumulátora. V ďalšom stave *SaveToRv* je výsledok v *ACC* uložený do registra *RV*. Výpočet končí v stave *Result* v ktorom je nastavený signál *OEN* (output enable) na logickú jednotku. Po nastavení povolovacieho signálu *EN* na logickú jednotku je výpočet znova spustený s novými hodnotami.

Delaici integrátor

Paralelný delaici integrátor vo fixpoint aritmetike bol implementovaný, podobne ako násobiaci integrátor, v 32 a 64 bitovej verzii. Pri návrhu integrátorov sa kládol dôraz nie len na rýchlosť výpočtu ale aj na priestorovú zložitosť. Z rovnice 3.26 vyplýva, že členy *DYN* sú násobené číslom $N - k$, kde k je minimálne 1 a teda najväčšie číslo je $N - 1$. Aby bolo možné toto číslo zobraziť bolo potrebné zvoliť vhodnú aritmetiku t.j. vhodný počet čísel pred a za desatinnou čiarkou. Čím väčší počet bitov sa nachádza pred desatinnou čiarkou, tým sa zväčšuje interval zobraziteľných čísel, avšak sa znižuje počet bitov za desatinnou čiarkou. Pri znižovaní počtu čísel za desatinnou čiarkou sa znižuje hustota zobrazenia čísel a v konečnom dôsledku presnosť. V dvojkovom doplnkovom kóde pri 1 bite pred desatinnou čiarkou sme schopní vypočítať delaicim integrátorom maximálne dva členy Taylorovej rady. Pri dvoch bitoch sú to 4 členy, pri troch bitoch 8 členov Taylorovej rady a pri štyroch bitoch 16 členov Taylorovej rady. To je možné vyjadriť ako $N = 2^w$, kde N - počet členov, w - bitová šírka. Keďže pri použití Taylorovej metódy 4. rádu nemusí byť riešenie dostatočne presné, v 32 bitová verzia počíta s Taylorovou metódou 8. rádu a je teda použitá aritmetika s jedným znamienkovým bitom, s tromi bitmi pred desatinnou čiarkou a zvyšných 28 bitov tvorí časť za desatinnou čiarkou. Vyšší rád metódy nie je použiteľný, keďže hodnoty vyšších členov by boli veľmi malé a teda nezobraziteľné v danej aritmetike. Táto aritmetika je zobrazená na obrázku 6.2.



Obr. 6.2: FX aritmetika delaiceho integrátora na 32 bitoch.



Obr. 6.3: FX aritmetika delaiceho integrátora na 64 bitoch.

V 64 bitovej verzii delaiceho integrátora ponúka väčšiu bitovú šírku a teda aj presnosť, preto bola veľkosť použitých bitov pred desatinnou čiarkou zväčšená o jeden bit. Za desatinnou čiarkou sa potom nachádza 59 bitov. V tejto verzii delaiceho integrátora sme teda

schopný vypočítať v danej aritmetike až 16 členov Taylorovej rady. Použitá aritmetika je na obrázku 6.3.

Postup výpočtu delaiceho integrátora je podobný ako v násobiacom integrátore. Jendotlivé stavy kontroléra a nastavenie signálov sú uvedené v tabuľke 6.3. Začiatok výpočtu je rovnaký ako u integrátora s operáciou násobenia. Integrátor je v počiatočnom stave t.j. v stave *Reset*. Z neho prejde do stavu *Init*. Následne v stave *MulUH* je násobená hodnota člena DU_i a s integračným krokom h . Výsledok je uložený do akumulátora *ACC*. Výsledok násobenia je možné uložiť už v tomto kroku, keďže nastavenie signálov multiplexorov a výpočet násobenia bolo možné začať už v stave *Init*. Paralelne s operáciou násobenia je signálom *START* zahájené delenie $1/v$, kde v je vstupná hodnota operandu. Operácia delenia sa vykonáva pomocou SRT algoritmu s radixom 2. Bližšie informácie o danom algoritme a implementácii môžeme nájsť v [4]. V stave *WaitDiv* je integrátor niekoľko cyklov, až kým sa neskončí operácia delenia. Delička po vykonaní operácie delenia nastaví výstupný signál *done* na 1, čím umožní prechod integrátora do nasledujúceho stavu *SaveDiv*. V ňom je hodnota delenia uložená do registra $1/v$. Tým dostaneme hodnotu prvého člena Taylorovej rady. Hodnota je sčítaná s hodnotou registra *RV* a uložená naspäť do registra.

Stav	SELy0	SEL1	SEL2	SEL3	SELQ	SELR	SELH	RWacc	RWrv	BLOK	
Reset	0	0	0	0	0	0	0	0	0	0	count = 0; countQ = 0;
Init	1	X	X	X	X	X	X	0	1	X	count = 0; countQ = 0;
MulDQxDRx	X	1	0	0	countQ	count-countQ	X	0	0	If countQ=count ? 1 : 0	If count <N ? WriteToAcc : Result
WriteToAcc	X	1	0	0	countQ	count-countQ	X	1	0	If countQ=count ? 1 : 0	If countQ = 0 ? MulAccH_RV : SetupCounter
SetupCounter	X	X	X	X	X	X	X	0	0	X	countQ-;
MulAccH_RV	X	0	1	1	X	X	count	0	0	X	
SaveToAcc	X	0	1	1	X	X	count	1	0	X	countQ=count+1;
SaveToRv	0	0	X	X	X	X	X	0	1	X	count++;
Result	X	X	X	X	X	X	X	0	0	X	If en = 0 ? Result : Init

Tabulka 6.1: Kontrolér násobiaceho integrátora v FX

Stav	SELy0	SEL1	SEL2	SEL3	SELQ	SELR	SELH	RWacc	RWrv	BLOK	
Reset	0	0	0	0	0	0	0	0	0	0	
Init	1	X	X	X	X	X	X	0	1	X	count = 0; countQ = 0;
MulDQxDRx1 MulDQxDRx2	X	1	0	0	countQ	count-countQ	X	0	0	If countQ=count ? 1 : 0	
MulDQxDRx	X	1	0	0	countQ	count-countQ	X	0	0	If countQ=count ? 1 : 0	If count <8 ? WriteToAcc1 : Result
WriteToACC1	X	1	0	0	countQ	count-countQ	X	0	0	If countQ=count ? 1 : 0	
WriteToACC	X	1	0	0	countQ	count-countQ	X	1	0	If countQ=count ? 1 : 0	If countQ = 0 ? MulAccH_RV1 : SetupCounter
SetupCounter	X	X	X	X	X	X	X	0	0	X	countQ-;
MulACCh_RV1 MulACCh_RV2 MulACCh_RV	X	0	1	1	X	X	count	0	0	X	
SaveToAcc1	X	0	1	1	X	X	count	0	0	X	
SaveToAcc	X	0	1	1	X	X	count	1	0	X	countQ=count+1;
SaveToRV	0	0	X	X	X	X	X	0	1	X	count++;
Result	X	X	X	X	X	X	X	X	X	X	If en = 0 ? Result : Init

Tabulka 6.2: Kontrolér násobiaceho integrátora v FP

Stav	SEL2	SEL3	SEL4	SEL5	SEL6	SEL7	SEL8	ClkAcc	ClkY	BLOK	
Reset	000	00	000	000	00	0	0	0	0	0	count = 1; const_int = 1;
Init	000	00	X	000	01	0	X	0	1	1	
MulUH	000	00	X	000	01	0	X	0	0	1	
WaitDiv	000	X	X	X	00	X	X	0	0	X	done = 1 ? SaveDiv : WaitDiv;
SaveDiv	000	X	X	001	00	1	0	0	0	0	
CalculationDY1	000	X	X	001	00	1	0	0	1	0	
WriteToAcc	001	X	X	const_int+1	const_int > 0 ? 10 : 00;	X	X	0	0	1	RWr = 1; count < 7 ? SetupCounters : Result;
SetupCounters	001	X	X	X	const_int > 0 ? 10 : 00;	0	X	0	0	1	count = 1; const_int > 0 ? MulCountDYx : MulDYxDVx;
MulCountDYx	X	X	X	const_int	10	0	X	0	1	1	
SetupDYxDVx	count	X	X	const_int-count+1	00	0	1	0	0	count = 1 ? 1 : 0;	
MulDYxDVx	count	X	X	const_int-count+1	00	0	1	1	0	count < const_int ? SetupCount : SetupDUxH;	
SetupCount	X	X	X	X	X	X	X	0	0	X	count++;
SetupDUxH	X	const_int	X	000	01	0	1	0	0	0	XOR = 1;
MulDUxH	X	const_int	X	000	01	0	1	1	0	0	XOR = 1;
SetupACCDivX	X	X	const_int-1	X	11	1	X	0	0	1	
MulACCDivX	X	X	const_int-1	X	11	1	X	1	0	1	
SetupCalcDYx	000	X	X	const_int+1	00	1	0	0	0	0	
CalculationDYx	000	X	X	const_int+1	00	1	0	1	1	0	
Result	X			X	X	X	X	0	0	X	en = 0 ? Result : Init;

Tabulka 6.3: Kontrolér deliaceho integrátora v FX

Stav	SEL2	SEL3	SEL4	SEL5	SEL6	SEL7	SEL8	ClkAcc	ClkY	BLOK	
Reset	000	00	000	000	00	0	0	0	0	0	count = 1; const_int = 1;
Init	000	00	X	000	01	0	X	0	1	1	
MulUH	000	00	X	000	01	0	X	0	0	1	
MulUH1	000	00	X	000	01	0	X	0	0	1	
SaveDiv	000	X	X	001	00	1	0	0	0	0	ClkV = 1;
SaveAcc	000	X	X	001	00	1	0	1	0	0	
CalculationDY1	000	X	X	001	00	1	0	0	1	0	
CalculationDY2	00	X	X	001	00	1	0	0	0	0	
CalculationDY3	00	X	X	001	00	1	0	1	0	0	
WriteToAcc	001	X	X	const_int+1	const_int > 0 ? 10 : 00;	X	X	0	0	1	RWrV = 1; count < (N-1) ? SetupCounters : Result;
SetupCounters	001	X	X	X	const_int > 0 ? 10 : 00;	0	X	0	0	1	count = 1; const_int > 0 ? MulCountDYx : MulDYxDVx;
SetupCountDYx	X	X	X	const_int	10	0	X	0	0	1	
MulCountDYx	X	X	X	const_int	10	0	X	0	1	1	
SaveCountDYx	X	X	X	const_int	10	0	X	0	1	1	
SetupDYxDVx	X	X	X	const_int	10	0	X	0	1	1	
SetupDYxDVx1	count	X	X	const_int-count+1	00	0	1	0	0	count = 1 ? 1 : 0;	
MulDYxDVx	count	X	X	const_int-count+1	00	0	1	1	0	count = 1 ? 1 : 0;	
SaveDYxDVx	X	X	X	X	X	X	X	0	0	X	count < const_int ? SetupCount : SetupDUxH; count++;
SetupCount	X	X	X	X	X	X	X	0	0	X	
SetupDUxH	X	const_int	X	000	01	0	1	0	0	0	XOR = 1;
MulDUxH	X	const_int	X	000	01	0	1	0	0	0	
SumMulAcc	X	const_int	X	000	01	0	1	0	0	0	
SaveMulAcc	X	const_int	X	000	01	0	1	0	0	0	
SetupACCDivX	X	X	const_int-1	X	11	1	X	1	0	1	
MulACCDivX	X	X	const_int-1	X	11	1	X	0	0	1	
MulACCDivX1	X	X	const_int-1	X	11	1	X	0	0	1	
SumACCDivX	X	X	const_int-1	X	11	1	X	1	0	1	
SaveACCDivX	X	X	const_int-1	X	11	1	X	1	0	1	
SetupCalcDYx	000	X	X	const_int+1	00	1	0	0	0	0	
SetupCalcDYx1	000	X	X	const_int+1	00	1	0	1	1	0	
CalculationDYx	X	X	X	X	X	X	X	0	0	X	en = 0 ? Result : Init;

Tabulka 6.4: Kontrolér deliaceho integrátora v FP.

6.2 Integrátory v pohyblivej rádovej čiarke

Integrátory v pohyblivej rádovej čiarke sú implementované vo verzií bez zdieľanej komponenty *EXP*. Delička *DIV*, násobička *MUL* a sčítačka *SUM* spracovávajú znamienko *S*, exponent *E* a mantisu *M* vnútri seba. Konkrétna implementácia týchto komponent bola prevzatá a upravená z [1]. Komponenty vykonávajú operácie sčítanie, násobenie a delenie v troch hodinových taktach, keďže pracujeme v pohyblivej rádovej čiarke a výpočet je náročnejší. Podrobný popis prebiehania týchto operácií v pohyblivej rádovej čiarke je popísaný v kapitole 4. Výpočet je teda pomalší oproti variante pracujúcej s pevnou rádovou čiarkou, ale o to presnejší a zároveň sa veľmi zväčšil rozsah zobraziteľných hodnôt a hustota zobrazenia.

Jednovstupový integrátor

Jednovstupový integrátor v pohyblivej rádovej čiarke bol implementovaný v 32 a v 64 bitovej verzií. Počet cyklov výpočtu je závislý len od počtu registrov v sade h/N . Na riadenie integrátora rovnako ako v predchádzajúcich variantách sú použité signály *RESET* a *EN*. Ostatné signály a stavy konečného automatu v kontroléry sú zobrazené v tabuľke 6.5. Pri výpočte je použitý jeden čítač. Ten slúži na počítanie jednotlivých cyklov výpočtu a zároveň ako signál pre výber hodnoty zo sady registrov h/N . Výpočet je naštartovaný signálom *Reset*. V ňom sa uložia počiatočné podmienky do registrov *RD* a *RV*. Následne sa pokračuje nasledujúcimi stavmi *Init*, *MulDYxH*, *SetupToRD* v ktorých prebieha násobenie a začiatok výpočtu sčítania. V stave *SaveToRD* je vypočítaná hodnota nového člena Taylorovej rady uložená do registra *RD*. V ďalšom stave *SaveToRV* je už hodnota člena sčítaná s hodnotou *RV* a naspäť uložená do registra *RV*. Výpočet *N* krát cykli a prejde do stavu *Result*. V registri *RV* sa nachádza výsledná hodnota rovnice 3.1.

Stav	SELy0	SEL	SELh	RWrđ	RWrv	
Reset	1	0	0	1	1	
Init	X	X	count	0	0	
MulDYxH	X	X	count	0	0	
SetupToRD	0	1	count	0	0	
SaveToRD	0	1	count	1	0	count++
SaveToRV	X	X	count	0	1	If count < 8 ? Init : Result
Result	X	X	X	0	0	If en = 0 ? Result : Init

Tabuľka 6.5: Kontrolér jednovstupového integrátora v FP

Deliaci a násobiaci integrátor

Implementovaný bol aj násobiaci a deliaci integrátor v pohyblivej rádovej čiarke a taktiež oba vo verziách s 32 bitmi a 64 bitmi. Jednotlivé stavy a nastavenia signálov násobiaceho integrátora sú popísané v tabuľke 6.2. Pri porovnaní s tabuľkou násobiaceho integrátora v pevnej rádovej čiarke 6.1 môžeme vidieť, že výpočet oboch integrátorov prebieha rovnako. Rozdiel je v dĺžke vykonávania operácie násobenia, ktorá potrebuje o dva hodinové taktly viac ako varianta s FX aritmetiku. Operácia sčítania potrebuje jeden takt navyše. TODO vypočítať počet operácií

Stav	SELy0	SEL	RWrđ	RWrv
Reset	1	0	1	0
Init	X	X	0	1
MulDYxH	X	X	0	0
SetupToRD	0	1	0	0
SaveToRD	0	1	1	0
SaveToRV	X	X	0	1
Result	X	X	0	0
	if ENDyx = 0 ? if en = 0 ? Result : MulDYxh : InitDy			

Tabuľka 6.6: Kontrolér jednovstupového integrátora v FP v zapojení do sústavy

Popis kotnroléru deliaceho integrátora je v tabuľke 6.4. Pri porovnaní s tabuľkou deliaceho integrátora vo FX aritmetike 6.3 je vidieť, že výpočet prebieha podobne v oboch typoch integrátorov. Rozdiel je rovnako ako u násobiacich integrátorov, v dĺžke vykonávania operácií delenia, násobenia a sčítania. Násobenie sa vykonáva v troch taktach hodinového signálu a sčítanie v dvoch taktach (rovnako ako u násobiaceho integrátora). Zaujímavosťou je však operácia delenie. Vo FP aritmetike je použitá paralelná delička používajúca paralelný algoritmus bez návratu k nezápornému zvyšku. Dĺžka výpočtu trvá iba jeden hodinový takt.

6.3 Sústava integrátorov

Podľa schémy zapojenia 5.8 v sekcii 5.7 bola implementovaná komponenta počítajúca diferenciálnu rovnicu 5.1. Komponentu tvorí násobiaci a deliaci integrátor v pohyblivej rádovej čiarke so 64 bitmi. Ďalej bola použitá komponenta invertor. Každý integrátor v zapojení používa sadu registrov h/N . Pre zníženie priestorovej náročnosti bola použitá len jedna sada týchto registrov. Veľkosť sady závisí od rádu metódy ktorú chceme použiť. Výpočet bol implementovaný v dvoch variantách počítajúcich s Taylorovou metódou 8. rádu a s Taylorovou metódou až 32. rádu. Každý integrátor je riadený svojim vlastným kontrolérom. Celé zapojenie je ešte ovládané hlavným kontrolérom, ktorý ovláda ostatné a to pomocou signálov *Reset* a *EN*. Výpočet prebieha v každom integrátore samostatne spôsobom takmer rovnakým aký bol popísaný v predchádzajúcich sekciách tejto kapitoly. Rozdiel je že integrátory nepracujú úplne ako samostatné komponenty s predpočítanými hodnotami, ale v zapojení do sústavy integrátorov kde vstupné hodnoty prichádzajú postupne. Upravené boli niektoré kroky kontroléra u použitých integrátorov. Upravený kontrolér jednovstupového integrátora je v tabuľke 6.6. Rozdiel je, že integrátor neobsahuje signál *SELh*, keďže sada registrov bola vytvorená ako zdieľaný komponent medzi všetkými integrátormi. Signál *SELh* je teraz ovládaný pomocou hlavného kontroléra. Ďalej neobsahuje podmienku na ukončenie výpočtu po dosiahnutí stanoveného počtu cyklov. Tá je taktiež v tomto prípade v režii hlavného kontroléra. Rovnakými úpravami prešiel aj kontrolér násobiaceho integrátora. V násobiacom integrátore bol pridaný ešte jeden výstup pre prečítanie výslednej hodnoty z registra *RV*.

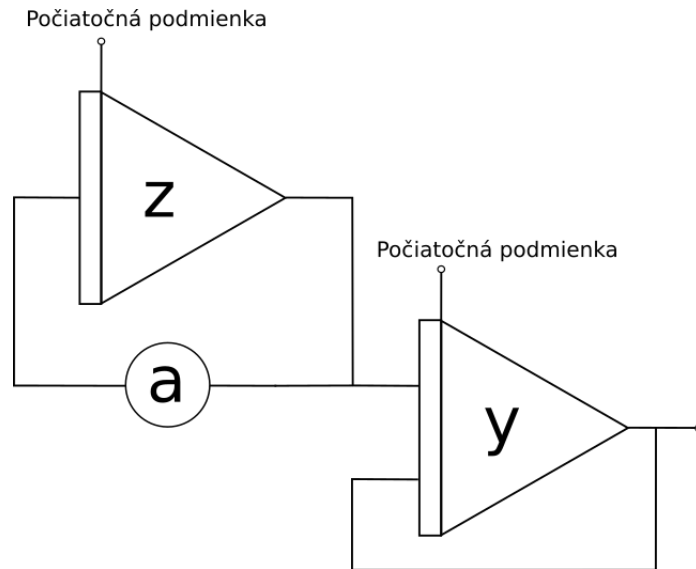
Na začiatku výpočtu je hlavný kontrolér uvedený do stavu *Reset* a signálom privedie ostatné integrátory taktiež do stavu *Reset*. V tomto stave sú nahrané počiatočné podmienky

do integrátorov a privedené na výstup každého integrátora. Hodnota sa tak dostane na potrebné vstupy integrátorov. Následne je pomocou povolacieho signálu *EN* spustený výpočet na všetkých integrátoroch naraz. Vstupné hodnoty násobiaceho integrátora sú uložené do sady registrov $DR(N-1)$ a $DQ(N-1)$. Výpočet pokračuje samostatne v každom integrátore. Keďže však výpočet násobiaceho integrátora trvá najdlhšie z použitých integrátorov, ostatné integrátory *q*, *r* a *s* po dokončení výpočtu čakajú na násobiaci integrátor. Ten po dokončení výpočtu aktivuje signál *OEN* (*output enable*) na 1. Tento signál je privedený do hlavného kotroléru, ktorý následne spustí ďalší cyklus výpočtu nastavením signálu *EN* do 1 v každom integrátore schémy. Toto sa opakuje až kým výpočet jedného kroku metódy neskončí. Pri výpočte ďalšieho kroku výpočtu sú obnovené počiatočné podmienky a výpočet sa znova vykoná.

FPGA na prípravku FitKit 2.0 nie je dostatočne veľké na implementáciu tejto sústavy rovníc predstavenej v sekcii 5.7, preto bola navrhnutá jednoduchšia diferenciálna rovnica v tvare:

$$y' = y * e^{at} \quad (6.1)$$

Schéma zapojenia tejto rovnice je zobrazená na obrázku 6.4. Obsahuje len dva integrátory. Jeden jednovstupý integrátor a jeden násobiaci integrátor. Oba v pevnej rádovej čiarke na 32 bitoch. Pre zníženia miesta je rovnica počítaná s Taylorovou metódou 4. rádu. Komponenta *a* predstavuje konštantu, ktorou je násobená výstupná hodnota integrátora *z*. Vynásobená hodnota je privedená naspäť na vstup tohto integrátora. Toto zapojenie počíta funkciu e^{at} . Integrátor *y* je zapojený taktiež do smyčky a spolu s integrátorom *z* a komponentom *a* tvoria schému zapojenia počítajúcu zadanú rovnicu. Do oboch integrátorov je privedená zbernica zo sady registrov *h*.



Obr. 6.4: Schéma zapojenia integrátorov

Ovládanie komponentov na prípravku FitKit 2.0 je realizované cez terminál programu QDevKit. Po inicializácii komunikácie prebieha v nekonečnej smyčke metódou *pooling* čítanie z riadiaceho registra a z registra výsledku. Hodnoty registrov sú vypisované v terminály v

hexadecimálnej forme. Príkazom *help* je možné si zobrazit nápovedu ovládania integrátora. Príkazom *DATAY* je možné nahráť počiatočnú podmienku do integrátora *y* a príkazom *DATAV* do integrátora *v*. Hodoty počiatočnej podmienky je nutné zadávať v hexadeximálnej forme s veľkými písmenami. Je to kvôli prevodu z textovej formy do číselnej, ktorá je následne uložená do registra. Krok metódy nie je možné meniť počas behu aplikácie. Je stanovený na hodnotu *0.1*. Po zadaní počiatočných podmienok je výpočet možné spustiť príkazom *START*. Tým sa nastaví povolovací signál *EN* a začne výpočet. Následne je výsledok po jednom kroku zobrazení v terminály. Pre výpočet hodnoty v ďalšom kroku je potrebné zadať ďalšie počiatočné podmienky a výpočet môže pokračovať.

Kapitola 7

Analýza

- 7.1 Porovanie Taylorovej rady s metódou Runge-Kutta 2. radu
- 7.2 Porovanie Taylorovej rady s metódou Runge-Kutta 4. radu

Kapitola 8

Záver

V tejto práci sme sa zaoberali numerickou integráciou pomocou metódy Taylorovej rady. Úpravou jej členov sme získali potrebné rovnice, z ktorých boli vytvorené jednotlivé návrhy integrátorov. Rozšírili sme návrhy paralelných integrátorov s operáciou násobenia a delenia v pevnej rádovej čiarky tak, aby s nimi bolo možné počítať diferenciálne rovnice na 20 členov Taylorovej rady. Ďalej sme tieto integrátory navrhli aj v prevedení pohyblivej rádovej čiarky. Navrhli sme komponent slúžiaci na výpočet exponentu a na jeho úpravu pri normalizácii. Keďže výpočet v aritmetike pohyblivej rádovej čiarky je presnejší, integrátory využívajúce túto aritmetiku sú navrhnuté na riešenie diferenciálnych rovníc až na 40 členov Taylorovej rady.

Ďalším pokračovaním práce je popísanie navrhnutých integrátorov vo VHDL, otestovanie ich funkčnosti na VIRTEX5 a následné analyzovanie ich časovej a priestorovej zložitosti v porovnaní s metódou Runge-Kutta.

Literatúra

- [1] Jean Pierre Deschamps, Gustavo D. Sutter, Enrique Cantó: *Guide to FPGA Implementation of Arithmetic Functions*. Springer, 2012, ISBN 978-94-007-2986-5, VHDL kódy dostupné z:
http://www.arithmetic-circuits.org/guide2fpga/vhdl_codes.htm.
- [2] Kraus, M.: *Paralelní výpočetní architektury založené na numerické integraci*. Disertační práce, FIT VUT v Brně, 2013.
- [3] Kunovský, J.: *Modern Taylor Series Method*. Habilitation work, VUT Brno, 1994.
- [4] Matečný, F.: *Simulátor procesora s operáciou delenia*. Bakalářská práce, FIT VUT v Brně, 2016.
- [5] Milan Kubíček, D. J., Miroslava Dubcová: *Numerické metody a algoritmy*. VŠCHT Praha, 2005, ISBN 80-7080-558-7.
- [6] Opálka, J.: *Automatické řízení výpočtu*. Bakalářská práce, FIT VUT v Brně, 2014.
- [7] Opálka, J.: *Automatické řízení výpočtu ve specializovaném výpočetním systému*. Diplomová práce, FIT VUT v Brně, 2016.
- [8] Sekanina, L.: Operace v FP a iterační algoritmy. , 2017, slajdy k predmetu INP - Návrh počítačových systémů.
- [9] Sekanina, L.: Reprezentace dat. , 2017, slajdy k predmetu INP - Návrh počítačových systémů.
- [10] Tišňovský, P.: Fixed point arithmetic [online].
<http://www.root.cz/clanky/fixed-point-arithmetic/>, 2006-05-24 [cit. 2017-11-22].
- [11] Tišňovský, P.: Norma IEEE 754 a příbuzní: formáty plovoucí řádové tečky [online].
<https://www.root.cz/clanky/norma-ieee-754-a-pribuzni-formaty-plovouci-radove-tecky/>, 2006-05-31 [cit. 2017-11-22].
- [12] Tišňovský, P.: Aritmetické operace s hodnotami ve formátu plovoucí řádové čárky [online].
<https://www.root.cz/clanky/aritmeticke-operace-s-hodnotami-ve-formatu-plovouci-radove-carky/>, 2006-06-07 [cit. 2018-01-07].
- [13] Vašíček, Z.: FITkit [online]. <http://merlin.fit.vutbr.cz/FITkit/>, 2006 - 2012 [cit. 2018-05-16].

- [14] Závada, V.: *Simulátor procesoru s operací násobení*. Bakalářská práce, FIT VUT v Brně, 2016.
- [15] Čambor, M.: *Elementární procesor v aritmetice pevné a pohyblivé řádové čárky*. Bakalářská práce, FIT VUT v Brně, 2009.

Príloha A

Obsah přiloženého paměťového média